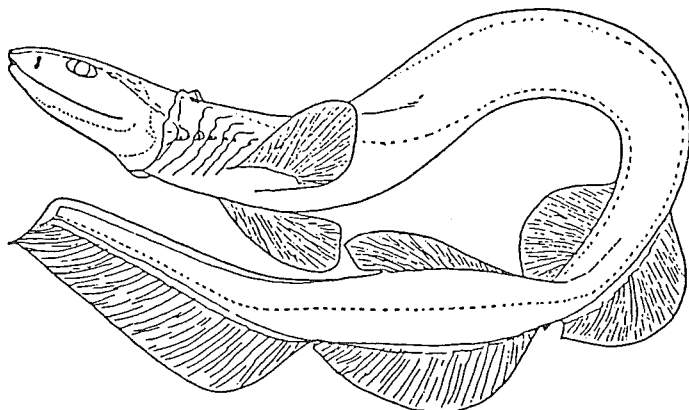


板鰓類研究連絡会報

第23号

Report of Japanese Group for
Elasmobranch Studies
No. 23



Chlamydoselachus anguineus

板鰓類研究連絡会 1987年1月 January, 1987
Japanese Group for Elasmobranch Studies

名譽会長 石山礼蔵
会長 水江一弘（長崎大学水産学部）
事務局 ☎ 852 長崎市文教町1-14
長崎大学水産学部内
板鰓類研究連絡会
Office JAPANESE GROUP for
ELASMOBRANCH STUDIES
Faculty of Fisheries
Nagasaki University,
1-14 Bunkyo - Machi
Nagasaki 852, Japan

目 次

Contents

小林 邦彦・友永 進・田中 彰……ラブカの免疫グロブリン……………1 Kunihiko KOBAYASHI, Susumu TOMONAGA and Sho TANAKA… Immuno-globulins of Frill Shark, <i>Chlamydoselachus anguineus</i>
友永 進・小林 邦彦・田中 彰……ラブカのリンパ組織……………3 Susumu TOMONAGA, Kunihiko KOBAYASHI and Sho TANAKA… Lymphoid Tissues of the Frill Shark, <i>Chlamydoselachus anguineus</i>
田中 彰……駿河湾産ラブカの生殖について……………4 Sho TANAKA…… Reproduction of the Frill Shark, <i>Chlamydoselachus anguineus</i> in Suruga Bay
塩原 美敞・阿部 秀直・日置 勝三……駿河湾ラブカの生物学的な知見について……7 Yoshihisa SHIOBARA, Hidenao ABE and Katsuzo HIOKI… Some biological informations on the Frill Shark in Suruga Bay
後藤 仁敏……ラブカ—生きているクラドダス類……………11 Masatoshi GOTO… <i>Chlamydoselachus anguineus</i> — a living cladodont shark
原 政子……ラブカ精巣内フォリクルの微細構造について……………14 Masako HARA… Fine structure of the follicle in the testis of Frill Shark
谷内 透……銚子産のラブカについて……………19 Toru TANIUCHI…… Frill Shark from Choshi
佐藤やす子……古代的魚類ラブカ <i>Chlamydoselachus anguineus</i> の脳……………20 Yasuko SATO…… The brain of archaic shark, <i>Chlamydoselachus anguineus</i>

田中 彰…… “しんかい 2,000” で駿河湾を潜る……………	29
Sho TANAKA…… A diving in the Suruga Bay by deep-sea submarine “Shinkai 2,000”	
竹村 晴…… ガンギエイ類の食性……………	32
Akira TAKEMURA…… Food of Rajidae	
文献紹介……………	33
Paper Review	

ラブカの免疫グロブリン

Immunoglobulins of Frill Shark, Chlamydoselachus anguineus

山口大学 医学部 小児科
Dept. Pediatr. Yamaguchi Univ. Sch. Med.

小林 邦彦
Kunihiko KOBAYASHI

山口大学 医療技術短期大学部
Sch. Allied Health Sci. Yamaguchi Univ.

友永 進
Susumu TOMONAGA

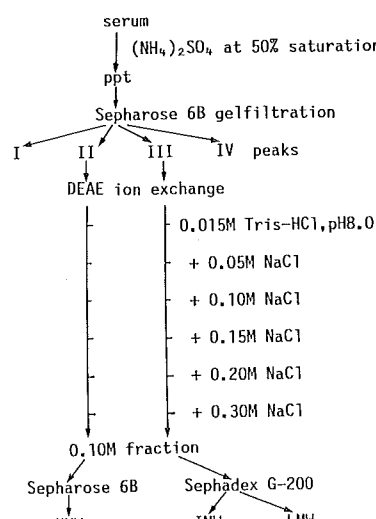
東海大学 海洋学部
Fac. Marine Sci. Tech. Tokai Univ.

田中 章
Sho TANAKA

高等動物である哺乳類の免疫グロブリンは IgM, IgG, IgA, IgD, IgE の 5 クラス からなるが、下等脊椎動物に属する魚類では IgM のみからなることが広く知られている。免疫グロブリンのクラスは系統発生上、脊椎動物の進化とともにその数が増加する。両棲類や爬虫類では IgM のほか IgG (IgYともいう) があり、鳥類では、このほか IgA と IgD がこれに加わる。したがって IgM は系統発生上、すべての脊椎動物に共通に存在し、もっとも原始的な免疫グロブリンと考えられる。高等動物の IgM は一般に 5 量体の高分子形態をとる (IgM の M は macroglobulin に由来する) が、魚類のうち硬骨魚類の IgM は 4 量体をなす。これに対し魚類のうちでも板鰓類のサメ類では高等動物の IgM と同様、5 量体を形成するが、そのほか单量体の免疫グロブリンも同時に存在する。板鰓類のこの 2 つの形態をとる免疫グロブリンは、ともにまったく同一の H 鎮を共有するため、同一の IgM クラスに属する。即ち、分子形態は 2 種類あるが、免疫グロブリンのクラスとしては 1 種類であるといふことである。ところで最近、我々は板鰓類のガニギエイ類 (Rajiformes) に IgM のほか、これとは H 鎮の異なる新しいクラスの免疫グロブリンが存在することを報告した^{1,2)}。この事実から、サメ類の他の種にも IgM 以外のクラスの免疫グロブリンの存在の可能性を考え、各種のサメの免疫グロブリンの検索をしたところ、ラブカ (Frill Shark) に IgM のほかに、これとは H 鎮の異なる免疫グロブリンの存在を同定したので、簡単に紹介する。

本研究に用いたラブカは駿河湾で捕獲されたものである。ラブカ血清からの免疫グロブリン精製は、サメ類の 5 量体、单量体 IgM 精製法に準じ、ゲル沈過とイオン交換クロマトグラフィで行なったところ、3 種類の異なる分子量の標品を得た (図 1)。1 つは 5 量体 IgM と考えられる high molecular weight immunoglobulin (HMW)，他の 2 つは单量体 IgM に近い分子量のもの (low molecular weight, LMW) と、HMW と LMW の中间の分子量をもつも (intermediate molecular weight, IMW) である。この 3 種の免疫グロブリンの分子量を SDS-PAGE (メルカプトエタノール非添加) で分析すると、HMW はヒト IgM と同じ分子量 (90万) を示し、IMW と LMW はそれぞれ 30万および 15万を示した (図 2)。これら 3 種の免疫グロブリンの H 鎮と L 鎮の分析をメルカプトエタノールによる S-S 結合解離後、SDS-PAGE で行なうと、いずれの免疫グロブリンも共通の L 鎮をもつが、HMW の H 鎮はヒトやコイの IgM の H 鎮に似た 2 万の分子量を示し、IMW と LMW のそれはともに 5 万前後に 3 本の共通なバンドとして泳動された (図 3)。このことから、IMW と LMW は共通の H 鎮をもつ同一の免疫グロブリンで、IMW の分子量が 30万、LMW のそれが 15万であることが、この 2 つはそれが 2 量体と单量体の関係にあると推測した。ただ、U, H 鎮の分子量は 5 万前後であることから、明らかにヒトやコイの IgM とは異なる。これに対し、HMW はその H 鎮、および HMW そのものの分子量がヒトの IgM に近いため、ラブカの IgM と推定できる。以上をまとめると、ラブカ血清には

図 1
Isolation of immunoglobulins from frill shark,
Chlamydoselachus anguineus



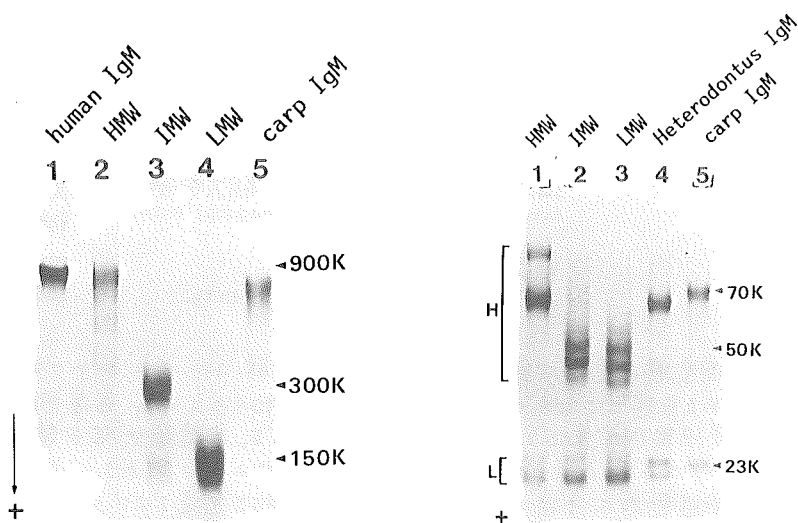


図2. SDS-PAGE (3%) 分析。
右側の数字は分子量を示す。

図3. SDS-PAGE (7.5%) 分析。
免疫グロブリンの H 鎮 (H) と
L 鎮 (L) の泳動位置と分子
量の差を示す。
Heterodontus IgM はネコザメ
の IgM である。ラブカとネコ
ザメの L 鎮は 2 本に分かれる。

ヒトの IgM に相当する HMW (IgM) と、これとは異なる H 鎮をもつ免疫グロブリン (IMW と LMW) の 2 種類から成ることが分かる。ただし、IMW と LMW は同一クラスの免疫グロブリンで 2 量体と单量体の関係にある。IMW または LMW を構成する 5 万前後の分子量をもつ H 鎮が 7 万の分子量をもつ HMW の H 鎮とまったく異なる遺伝子に由来するか、または 5 万の H 鎮は 7 万の H 鎮を支配する遺伝子の一部が欠損した欠陥遺伝子に由来するかは現在のところ明かではない。ただし、HMW の H 鎮と LMW または IMW の H 鎮間にみられる分子量の差は糖鎖の含量の差と考えることも可能であるが、ウサギで作製した抗 HMW 抗体による HMW と LMW (または IMW) の抗原性の比較では HMW が明らかに LMW (または IMW) に存在しないエピトープを有することから、両 H 鎮の差は主として蛋白質レベルのものと考えられる。しかし、HMW と LMW または IMW が真に異なるクラスの免疫グロブリンであるか否かは、それらの H 鎮のアミノ酸配列や詳細な抗原性の比較、ならびに免疫細胞学的な解析が必要である。

これまでのサメ類にみられる免疫グロブリンの研究では、ラブカにみられるような HMW、IMW および LMW の 3 種の分子形態をもつものは見出されていない。この意味でラブカは興味ある板鰓類といえる。

文 獻

- 1) Kobayashi,K., Tomonaga,S. and Kajii,T. A second class of immunoglobulin other than IgM present in the serum of a cartilaginous fish, the skate, Raja kenojei: Isolation and characterization. Mol. Immunol., 21, 397, 1984.
- 2) Tomonaga,S. and Kobayashi,K. A second class of immunoglobulin in the cartilaginous fishes. Dev. Comp. Immunol. 9, 797, 1985.

(1986年9月22日受付)

ラブカのリンパ組織

Lymphoid Tissues of the Frill Shark,
Chlamydoselachus anguineus

山口大学医療技術短期大学部 友永進
Sch.Allied Health Sci.Yamaguchi Univ. Susumu TOMONAGA

山口大学医学部 小児科 小林邦彦
Dept.Pediatr.Yamaguchi Univ.Sch.Med. Kunihiko KOBAYASHI

東海大学海洋学部 田中彰
Fac.Marine Sci.Tech.Tokai Univ. Sho TANAKA

軟骨魚類の免疫系は硬骨魚類のそれよりもおろそか發達しているといえる点が多い(1-6)。ここでは軟骨魚類の中でも比較的原始的な種と一般に考えられているラブカのリンパ組織について記述する。検索したラブカは駿河湾において1984年2月から1986年5月までに採集したもので、体重3-10kg、体長1.2-1.6mの成魚である。内臓諸器官をホルマリン固定し、型の如くパラフィン切片をつくり、ヘマトキシリン・エオシン染色を施して観察した。

軟骨魚類のリンパ組織のうち最も重要なものの一つは胸腺であろう。しかし、今回調べたラブカでは胸腺を確認することができなかった。それは調べた個体がすべて成魚であった為と考えられる。胸腺は一般に加令に伴って退縮することが知られている。ラブカの脾臓の組織像は他の多くの軟骨魚類のそれと基本的に同じであった。即ち、主としてリンパ球で構成されている白脾臓がよく発達していた(図3)。白脾臓の中には哺乳類の場合と違って動脈のみでなく静脈も観察される(図3)。典型的な形質細胞(Marschak type plasma cell)はほとんど認められなかつた。

種差はあるが軟骨魚類の消化管粘膜には発達したリンパ組織がみられる(3-5)。しかし、われわれが調べたラブカにはそれがみられなかつた。まず食道粘膜のLeydig器官は認められなかつた。更に、胃や小腸の粘膜固有層には散在性にリンパ球が認められたにすぎず(図4)，他の多くの軟骨魚類にみられるようないんぱ球集積(5)は観察されなかつた。リンパ球は腸上皮細胞層内にも認められた(図4矢印)。少數ではあるが形質細胞が固有層に認められることがあつた。

一般に軟骨魚類では性腺に接してEpigonal organとよばれる結合組織塊があり、ここで造血が行なわれている。それは主として顆粒球造血であるが、一部リンパ球や形質細胞も存在することが知られている(3, 4)。しかし、ラブカでは性腺の被膜直下に小規模の顆粒球造血が認められたにすぎなかつた。

この動物の造血組織で最も特徴的なことは良く発達した造血組織が腎臓の間質にみられることがある。その造血は主として顆粒球系であったが、一部にリンパ球系細胞の造血も認められた(図1, 2)。さらに図2に示したように比較的多数の形質細胞も観察された。このような腎臓での造血は硬骨魚類において典型的である。

上記の観察結果から、ラブカでは脾臓が主なるリンパ組織である(恐らく胸腺と共に)という点では今までわれわれが調べてきた他の種の軟骨魚類と同じであったが、腎臓に発達した造血巣がみられたことがラブカの特異な点と言えよう。今後さらに検索例を増して、検討を加えたい。特に、免疫グロブリン産生細胞(B cell)の分布と、胸腺由来細胞(T cell)の分布についての検索を進みたい。

文献

1. Kanesada,A. Bull. Yamaguchi Med. Sch., 4: 1, 1956.
2. Kobayashi,K., Tomonaga,S., Kajii,T. Mol.Immunol., 5: 397, 1984.
3. Tomonaga,S., Kobayashi,K., Kajii,T. and Awaya,K. Dev.Comp.Immunol., 8: 803, 1984.
4. Tomonaga,S., Kobayashi,K., Hagiwara,K., Sasaki,K. and Sezaki,K. Dev.Comp.Immunol., 9: 617, 1985.
5. Tomonaga,S., Kobayashi,K., Hagiwara,K., Yamaguchi,K. and Awaya,K. Zool.Sci., 3: 453, 1986.
6. Kobayashi,K., Tomonaga,S., Teshima,K. and Kajii,T. Eur.J.Immunol., 15: 952, 1985.

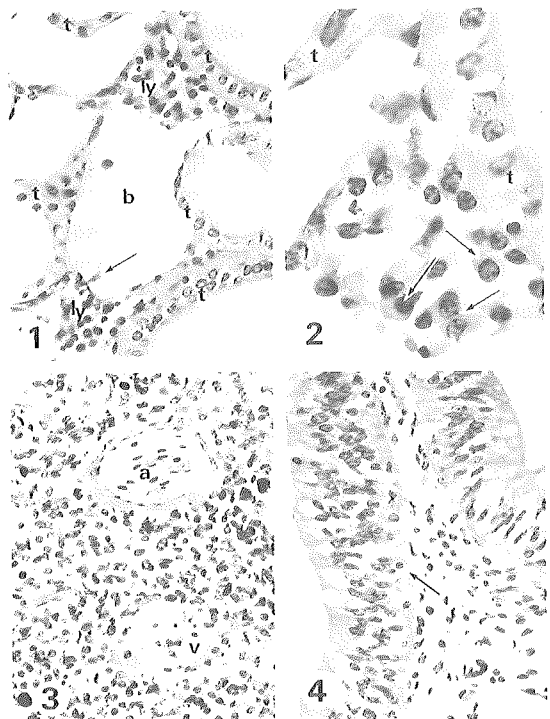


図1. ラブカ腎臓のリンパ球系造血巣 (ly),
t: 尿細管上皮, b: 血管腔, リンパ組織と血管腔間を移動中の細胞が観察される(矢印)。

図2. 図1の拡大。多数の形質細胞(矢印)がみられる。

図3. ラブカ脾臓の白脾臓。多数のリンパ球が動脈(a)及び静脈(v)の周辺に集積している。

図4. ラブカの腸粘膜。粘膜の固有層内にリンパ球が散在性にみられる。リンパ球の一部は上皮細胞層内に進入している(矢印)。

(1986年10月2日受付)

駿河湾産ラブカの生殖について

Reproduction of the Frill Shark, Chlamydoselachus anguineus in Suruga Bay

東海大学海洋学部 田中 邦
Faculty of Marine Science
and Technology,
Tokai University Sho TANAKA

ラブカ Chlamydoselachus anguineus は 1885 年 S. Garman によって初めて日本から報告され、それ以後、様々な研究がなされてきた。特に有名な研究として、Bashford Dean が 1900-1901 年、1906 年、1917 年に訪日した際に、東京湾、相模湾より集めた資料をもとに、E. W. Gudger と B. G. Smith によって詳しくまとめられた 3 つの報告がある。すなわち、Bashford Dean Memorial Volume, Archaic Fishes, Article V, VI, VII である。V は "The natural history of the frilled shark, Chlamydoselachus anguineus." pp. 243-330, 5 pls. で、VI は "The anatomy of the frilled shark, Chlamydoselachus anguineus." pp. 331-520, 7 pls. で、VII は "The breeding habits, reproductive organs and external embryonic development of Chlamydoselachus, based on notes and drawings by Bashford Dean." pp. 521-633, 6 pls. である。V では日本から採集されたラブカだけでなく、ヨーロッパ近海で採集されたものについても述べ、VII では題名の如く、Bashford Dean が記載した資料をもとに生殖について詳しく書かれている。

ところで、ラブカは日本で初めて発見されたわけであるが、日本の研究者はそれでは何をしていったかというと、かろうじて 1898 年に、西川博士によって、本種の胎仔について報告され、本種が卵胎生であることが初めて明白にされた。その後、単純的に報告はあるものの、先に述べた Gudger や Smith による大著の前には、ほとんど研究がなされていない。そこで、駿河湾では以前よりサクラエビ中層曳網にラブカが混入することが知られておりため、東海大学では、鈴木克美、久保田正、兩先生を中心に、海洋科学博物館と

水産学科と協力し、ラブカ研究グループをつくり、駿河湾のラブカの生態・生理を研究している。ここでは、筆者が担当している生殖について、若干の知見を得たので報告する。

駿河湾で採集されるラブカは、ほとんど全て成熟に達した個体である。雄では、肉眼的に交接器の硬さや大きさ、貯精のう内の精液の多少、精巢、貯精のうの発達程度などから、また、顕微鏡的には、精巢内の精細胞の発達程度から、ある程度の成熟状況がつかめる。それらの諸状況を観察すると、雄は全長 120cm 前後で成熟することがわかる。今のところ、筆者は 118cm 以下の雄個体を採集していない。一方、雌では、肉眼的に、卵巣卵の発達状態、輸卵管・子宮の状態、受精卵・胎仔の有無などでその成熟状況は判明する。これらのことから、雌は 140-150cm で成熟すると考えられる。今までに採集された未熟個体は 126cm, 150cm, 156cm の 3 個体のみである。それでは、118cm 未満の個体が採集されていないかといふと、西伊豆戸田港を基地とする底曳網船で、まれに 60cm 前後の個体が採集されるようである。また、久保田先生は焼津沖で、やはり 57cm の個体を採集している。筆者が採集した最大の胎仔は 55cm であるところから、前述した 60cm 前後の個体は出生後、間もないものであるといえる。それでは、60cm から、成熟に達する 120cm 前後までの個体はどこへいつていまつたのが、これは残されたなぞの 1 つである。駿河湾では、塙原氏が述べていうようにラブカが主に採集される時期は底刺網とサクラエビ中層曳網漁業が行なわれている 2 月から 6 月上旬である。他の時期に時たま底刺網や底曳網で採集されるが、やはり、前述した如く、未成熟魚は採集されず、他の海域や更に深海域にて移動しているのかもしれない。冬から春にかけて 300m 以浅の海域で主に成熟魚が獲れることは、それらが生殖に関連した行動を示していることを表わしていると思われる。以下に採集された個体の生殖器官の状態について述べる。

雄の生殖器官は他の板鰓類同様、外部器官として交接器が内部器官として精巢、副精巢、輸精管、貯精のうがある。交接器の骨格は他のサメ類に比べ、非常に単純で、claw や spur は見られない。また、ホシザメやツノザメなどを見られる siphon sac は観察されず、clasper cavity が交尾時に siphon sac の役割を果たすと考えられる。1月から 6 月に採集される個体の交接器を調べると、時々、赤く充血したものがある。これは交尾によって赤くなつたと考えられる。今もって、ラブカの交尾行動を観察した報告はなく、あのヘビのような体型からすると、雄が雌にまきつくようにして交尾しているのであろう。採集された個体の中には尾鰭先端が切断しているものが時折みられ、これは交尾の際に互いの体を保持しようと相手の体にガミ付けていることを示しているのがかもしれない。精巢は左右一対あり、その表面上に縦に一筋の白く細い隆起線が見られる。精巢を組織学的に観察すると、その白い隆起線には精祖細胞が多数存在している。その隆起部を源にして、扇状に各段階の精細胞を含む follicle が規則正しく並んでおり、精巢間膜側では変態を終了した精子を含む follicle が観察される。束になつた精子は follicle 内で頭部を外側に、尾部を内腔側に向けて並んでいる。精子は follicle から出る際に束をとき、輸精小管に入り、精巢間膜内の輸精管を通り、腹腔背壁前部にある副精巢へと移動する。更に、ウォルフ氏管に由来する輸精管を通り、総排泄孔前部にある貯精のうへと進み、そこで貯えられる。貯精のうに多量の精液を保持している個体も採集され、これらは交尾可能な状態にあると考えられる。

一方、雌の生殖器官も他の板鰓類同様、卵巣、輸卵管、卵殻腺、子宮などで構成されている。卵巣はメジロザメ科などのサメ類と異なり、左右とも機能的である。発達した卵は直徑 10cm 以上にもなる。ほぼ同程度に発達した卵の数は最大 12 個であった。排卵された卵は、腹腔前下面にある受卵孔より輸卵管に入り、卵殻腺で黄色金色をした薄い卵殻に包まれ、子宮に到達する、ここで非常に興味深いことは受卵孔に入った卵は必ず右子宮にのみ進むことである。左の卵殻腺では稀に卵殻を形成し、卵を包まずに卵殻のみを子宮に持つ個体もある。このことは左側の卵殻腺も機能的であり、もし、卵がくれば、卵殻をそれを包み子宮へ送ることを示している。なぜ、左の輸卵管に卵が入りないかは未だ不明である。排卵を行つてある個体の右卵殻腺は左のものより大きく発達している。この卵殻腺を組織学的に観察すると、その内部に精子を持つことがある。これは、卵殻腺がただ卵殻のみを形成するだけではなく、一時、精子を保持する機能を有していることを示しているのがかもしれない。卵殻腺を観察された精子が交尾後どのくらいたつたものは不明であるが、すべての大型卵が排卵されてくるまで、卵殻腺で精子を貯えていることが考えられる。受精卵や胎仔をもつ

子宮の内壁には長さ7~10mmの絨毛が発達している。胎仔が全長60mmぐらいまで成長すると、それまで胎仔を包んでいた卵殻が破れ、胎仔は直接子宮内液の中で成長する。全長60~100mmの胎仔は外鰓が発達し、子宮絨毛も外鰓と絡みついていることがある。これはガス交換や栄養物と老廃物の授受を行っているのかかもしれない。

次に生殖周期であるが採集がなされていない8,9月を除く月の雄は貯精のうえ精液を貯え、精巢の組織像も月による違いがなく、ホシザメのような周期性を有していないようである。一方、雌では、卵巣卵の発達程度、子宮内の胎仔の成長を月を追って調査すれば、その生殖周期は確認される。そこで、下図に卵巣卵の最大卵径、全長10mm以上の胎仔全長の旬別(上、中、下旬/月)に示した。卵径の

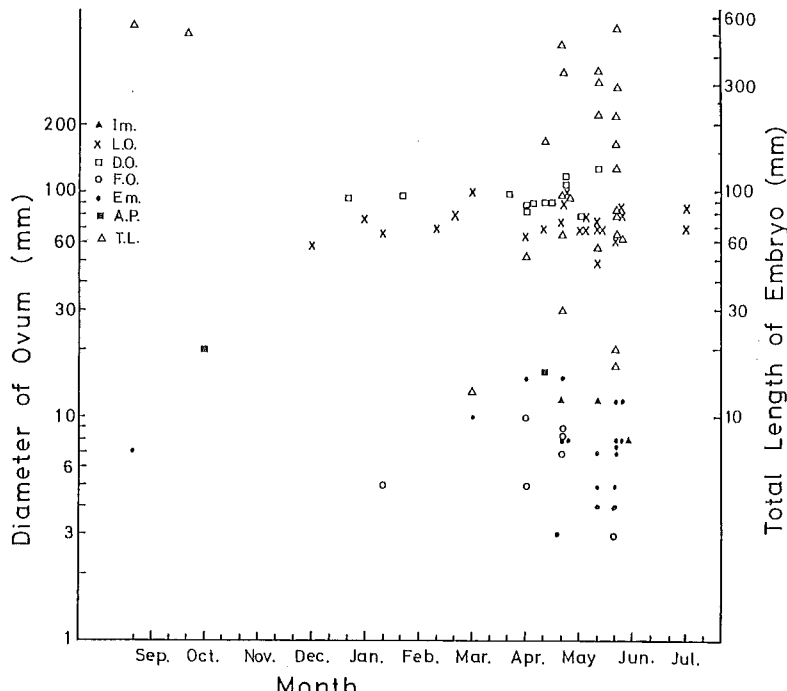


図1. 駿河湾産ラブカの卵巣卵の最大卵と胎仔の旬別出現状況。

20mmから550mmまでほとんど連続して出現している。以上のことがあり、卵巣卵は直径90mm以上になると排卵され、その排卵時期は1~6月と長期にあたることが考えられる。ただし、個体としての排卵期間は、受精卵・胎仔の発生、成長状況がほぼ同じであるので、数ヶ月に及ぶとは考えられない。交尾時期は、1~6月以外の月でも雌雄が同海域で底刺網にかかり、前述した如く、卵殻腺に精子を貯えることができると考えられるならば、定まっていないとも考えられる。交尾時期については、今後、すべての卵殻腺を組織学的に観察し、精子の有無を調べ、卵殻腺に貯精機能があるか検討する予定である。出産時期は、出産後と思われる2個体が4月下旬と10月中旬に採集され、更に全長50cm以上の胎仔をもつ個体が6,9,10月に採集されていることから、定まっていないようである。しかしながら、排卵時期が半年にも及び、かつ妊娠期間が一定とすれば、出産時期も半年にも及ぶことになる。妊娠期間は出生全長が60cm前後とし、卵黄による發育を考えると、アラツノザメのように2年弱あるいはそれ以上と考えられる。そして、卵巣卵を直径90mm以上まで発達させることを考えると、卵巣卵の出現から胎仔の出産まで少なくとも3~4年要すると思われる。これらのこととは今年6月までに採集された雄97尾、雌74尾をもとにして得られたものである。以上、駿河湾産

以上、駿河湾産ラブカの生殖について述べきたが、生殖器官の構造についてはも明らかにしなければいけない問題もあり、更に生殖生態、周期についても不明な点が残されている。今後、試料数の少ない7~12月の採集を行って、不明な点を解明していかないと考えている。尚、最初に述べたBashford Dean Memorial Volume VII¹にも詳しく述べてあるが、生殖について書かれてあるので興味がある方は参照されたいたい。

表示は各個体の生殖器官の状況によって、6つに分けた。すなわち、未成熟魚の卵径(△)、非妊娠の成熟魚のもの(X)、受精卵を持ち、卵巣にも大型卵を有する即ち排卵中の個体のもの(□)、卵巣には大型卵ではなく、受精卵をもつ個体のもの(○)、胎仔をもつ個体のもの(●)、出産後と思われる個体のもの(■)である。12月から7月の間、直徑60mm以上の卵を持つ個体が、1月から6月の間、受精卵をもつ個体が連続的に採集されている。排卵中の個体の大型卵は直徑90mm以上である。5月と6月に採集された胎仔は全長

Bashford Dean Memorial Volume

V; E.W.Gudger and B.G.Smith (1933).

VI; B.G.Smith (1937)

VII; E.W.Gudger (1940)

(12月8日受付)

駿河湾産ラブカ の生物学的な知見について

Some biological informations on the Frill Shark in Suruga Bay

東海大学

海洋科学博物館

Marine Science Museum,
Tokai University

塙原美樹・阿部秀直・日置勝三

Yoshihisa SHIOBARA,
Hidenao ABE and
Katsuzo HIOKI

生きた化石と言われるラブカ (*Chlamydoselachus anguineus*) は 1884 年 Garman によって 相模湾から得られた個体とともに新種記載を行つて以来、我が国では中部日本以南の太平洋側の各地、東シナ海の深海から記録されている (蒲原, 1950; 仲谷, 1984; 田名瀬, 1985)。日本以外からの記録も多く (Gudger, 1933; Roedel and Ripley, 1950; Nakaya and Bass, 1978; ほか), 汎世界的な分布を示す。駿河湾におけるラブカの記録は比較的最近で 1971 年に久保田・青木によつて、サクラエビ漁で捕獲された個体がはじめて報告された。その後、塙原 (1983), 安原 (1983) も駿河湾のラブカについて報告しているが、断片的で未知な部分が少くない。駿河湾に面する蒲原、清水、焼津の各沿岸のサクラエビ中層曳網および底刺網を行つてゐる漁業者の話によれば、ラブカの入網、羅網は比較的多いと言われている。しかし、漁業者はラブカ独特の 3 尖頭の鋸歯によって網が破れたり、怪我を被るおそれがあるため、ラブカを嫌い、捕獲されてもただちに船上で処分してしまうのが現状で、捕獲時期、場所、水深など詳細な記録は全く不明である。そこで著者らと東海大学鈴木克美教授、久保田正教授、西源二郎講師、田中彰講師、矢野和成研究生の合計 8 名でラブカ研究グループをつくり、駿河湾におけるラブカの捕獲個体数、捕獲水深、生殖機構、食性、飼育による生理生態実験など生物学的な調査を開始した。ここでは、収集個体の解析と長期飼育への試みについて、これまでに得られた結果を報告したい。

調査は 1984 年 2 月から行われ、現在も継続中である。供試魚としたラブカは蒲原、清水、焼津の各沖合を主な漁場とするサクラエビ中層曳網と、タイ、ヒラメを主目的とした底刺網で捕獲されたものである (Fig. 1)。1984 年 2 月～1985 年 6 月まで調査期間中に収集したラブカは 85 個体である。月別および漁法別の収集結果を次頁の Fig. 2 に表わした。サクラエビ中層曳網で捕獲されたのは 34 個体、底刺網では 51 個体である。サクラエビ中層曳網が操業される 3 ～ 6 月と 10 ～ 12 月のうち、ラブカが捕獲されるのは 4 ～ 6 月に限られる。一方、底刺網は 9 ～ 5 月が主漁期で (清水市の場合は周年) あるが、ラブカが多く捕獲されるのは 1 ～ 5 月である。これらのラブカがどうくらの水深

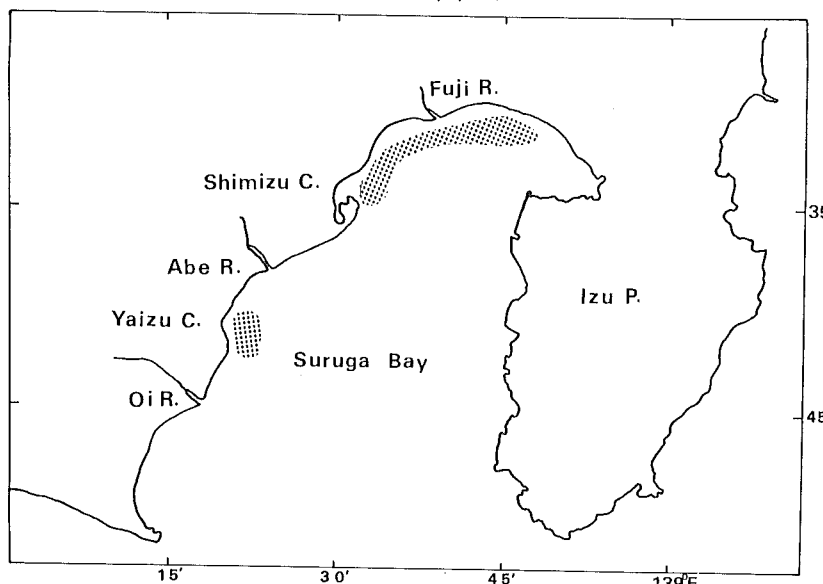


Fig. 1. Map showing investigation locality of *Chlamydoselachus anguineus*.
Dotted, fishing ground.

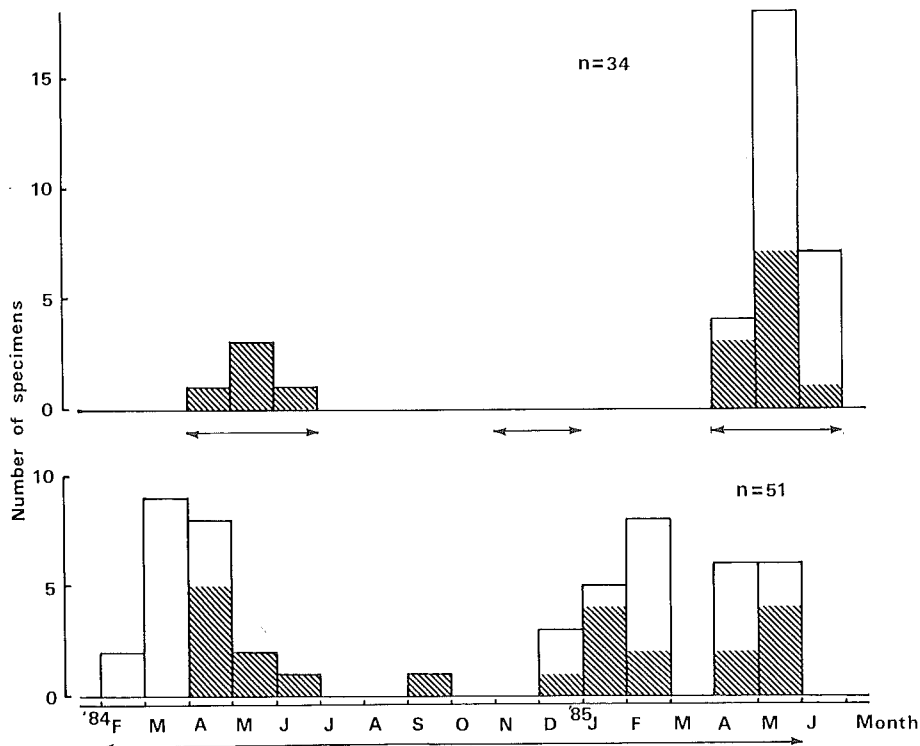


Fig. 2. Monthly change of number of specimens sampled by mid-water trawl (above) and gill net (bottom) of *C. anguineus*.
Open bars, male; oblique striped bars, female;

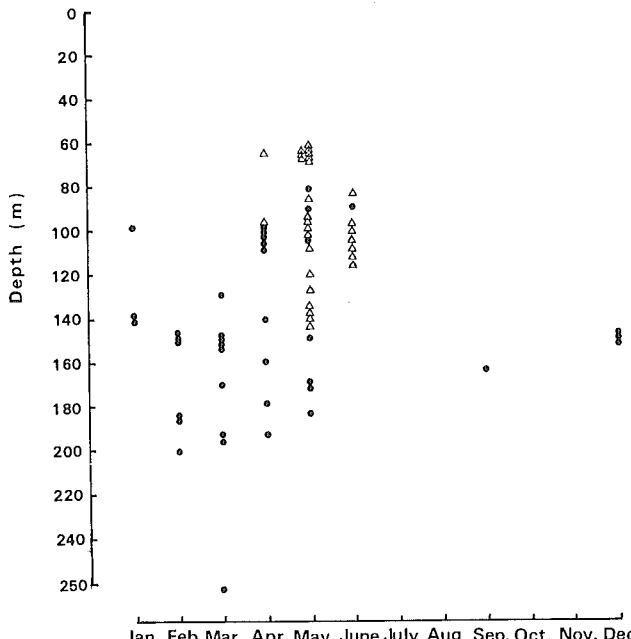


Fig. 3. Habiting depth of *C. anguineus* caught by mid-water trawl (triangles) and gill net (circles).

で捕獲されるのが Fig. 3 に示した (サクラエビ中層曳網は投網時の最深を示し、底刺網はラブカ羅網水深を示している)。これによると最も深い所で刺網にかかった水深は約 250m、浅い所でサクラエビ漁でとれた水深は約 60m である。これまではラブカが捕獲された水深はエビ網に羅網した水深 30m の例 (田名瀬, 1985) を除けば、本調査の記録より深所から得られている。駿河湾の奥部および西部の沿岸におけるラブカの生息水深は 60~250m であることは言えようがあるが、繁殖との関連、索餌との関連など、今後の調査課題の一つである。また、ラブカが海底から離れた中層を曳網するサクラエビ漁に入網することは、海底からわずかに立ち上がった刺網 (20~30

尺網を使用)にも羅網する
ことは遊泳生態に興味が
もたられる。

収集した85尾のうち、尾鰭
の欠損していった5尾を除き50
mm級毎に区分した全長組
成をFig.4に示した。最大個
体は雌の1770mm、最小個体
は雄の1178mmである。此佳
36個体は1458~1770mmの
範囲であるが、1550~1600mm
付近にモードが認められた。
一方、雄44個体は1178~1597
mmの範囲で1250~1350mm
付近にモードが認められ、此佳
の方が雄より大きい傾向は
明らかである。収集された
個体は後で報告する田中氏
によればほとんどが成熟し
ているという。本調査では、1450
mm以下の雌や、1178mm以
下の雄が未だ収集されてい
ない。この理由ははつきりし
ないが、これまで駿河湾に
おける小型個体は全長57.3
cmの雌(東海大学 海洋学
部、久保田正教授所蔵標
本)、全長53.5cmの雄(安原
1983)の2例が記録されているので、今後の
調査次第で小型個体や未成熟個体が得ら
れるものと考えられる。

次に全長と体重の関係をFig.5に示した。雌
個体は1550~1600mm以下、付近にモードが
認められたが、体重には個体差があり成熟
状態の違いが窺われた。体重(雌の場合は卵
巣および子宮重量を除いた)と肝臓重量との
関係は次頁のFig.6の通りである。個体数は
少ないので次の関係式が得られた。即ち、雌は
 $y=0.24x-0.42$ 、雄は $y=0.18x+0.09$ である。相関
係数は雌が0.71、雄が0.81である。

57個体のラブカの胃内容物調査を行つた
ところ、17個体から胃内容物が見出された。
現在分析中のため後で報告したい。

本調査の一項目中にラブカの食育実験があ
る。生存しているラブカの収集は捕獲した漁業
者から連絡を受けた後、直ちに引き取りに行く
方法をとった。そのうち活動のある個体を水温
13~15°Cに保った直径3m、深さ1mの食育水
槽に収容した。これまで19尾の生存個体を
収容したが、最長5日間の食育にとどまつて

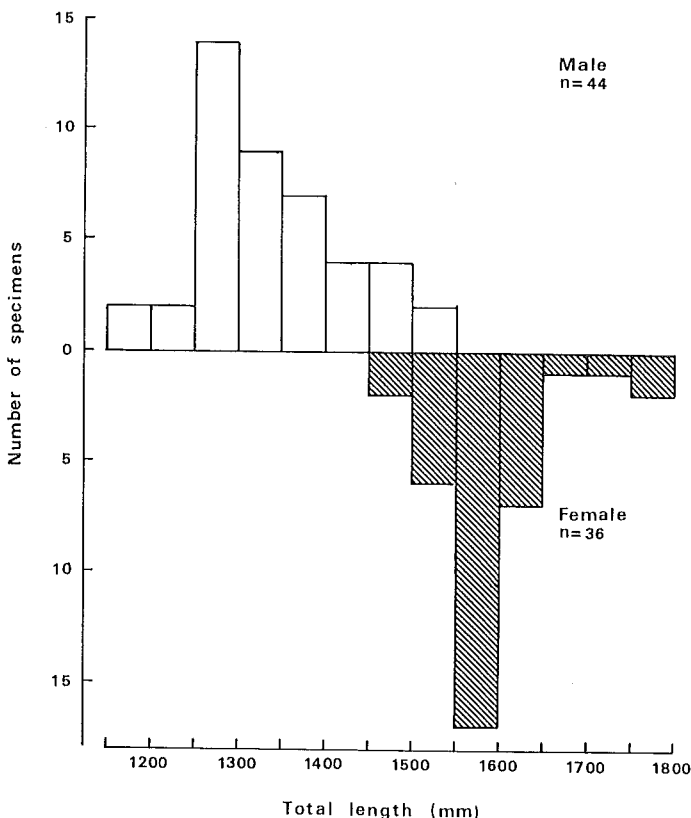


Fig. 4. Frequency distribution of total length of *C. anguineus*.

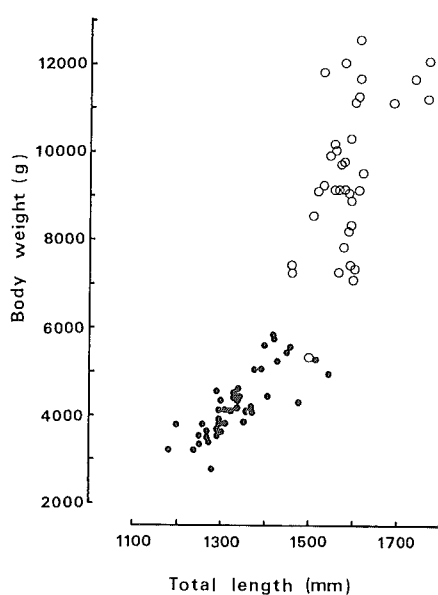


Fig. 5. Relationship between total length and body weight of *C. anguineus*. Solid circles, male; open circles, female.

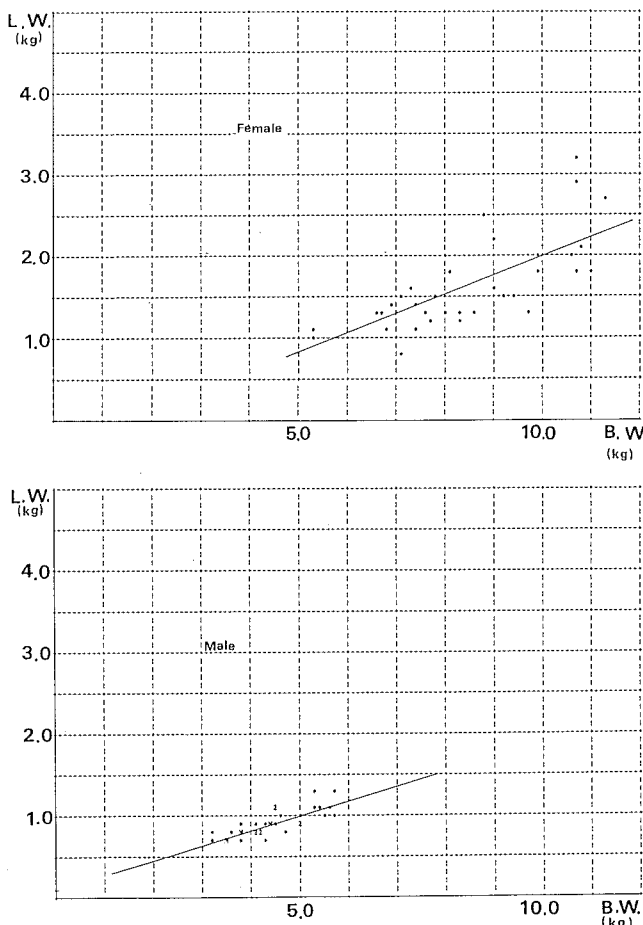


Fig.6. Relationship between body weight and liver weight of *C. anguineus*.

研究結果によると、底立縄で漁獲したタロウザメに超音波送信器(ピンガ)を取り付け再び海に放した所、1時間足らずで620mの水深まで潜水したという。これは一旦深海から表層面まで引き上げられ、さらにピンガを取り付けられて生理的な打撃を受けた個体でも活力があれば再潜水が出来、生存し続けられる可能性のあることを示唆するものである。本実験において体を浮かして死する現象は浮力調節など生理的な機能回復がつかれないと、環境の変化に対応出来なかつたものと判断された。今後、飼育環境の改善により長期飼育を目指したい。

引用文 稲大

- 蒲原稔治(1950): 土佐及び紀州の魚類, 高知県文教協会, 288 pp.
- 仲谷一宏(1984): 沖縄舟状海盆及び周辺海域の魚類 I, 岡村收・北島忠弘編, 日本水産資源保護協会, 36-37.
- 田名瀬英明(1985): 南部沖で採れたラブカについて, 南紀生物, 27(1), 40.
- 久保田正・青木光義(1971): 駿河湾で漁獲されたミツクリザメとラブカ, 採集と飼育, 33(8), 191-193.
- 塙原美敬(1983): 東海大学海洋科学博物館所蔵の駿河湾産板鰓類標本, 板鰓類研究連絡会報, (16), 11-15.
- 安原健允・室伏誠・勝呂博(1983): 駿河湾や田冲で漁獲されたラブカについて, 日大生活科研報, 6, 25-30.
- 柳沢践夫(1985): 水槽内におけるミツクリザメの行動, 動物水誌, 27(3), 71-75.
- 矢野和成(1985): 日本産ツツジ目魚類の形態、系統、分類、生態に関する研究, 東海大学博士論文, 1~285.
- 小林裕(1986): 熊野灘海域の深海性サメ類に関する研究, 三重大水産研報, (13), 25-133.
- Gudger, E.W. and B.G. Smith (1933): The natural history of the frilled shark *Chlamydoselachus anguineus*, Bashford Dean Memorial Volume Archicoelacanth Fishes V, 247-316.
- Roedel, D.M. and W.E. Ripley (1950): California sharks and rays, Fish Bulletin, California Fish and Game Commission, (75), 1-88.
- Nakaya, K. and A.J. Bass (1978): The frill shark *Chlamydoselachus anguineus* in New Zealand seas, N.Z. Jour. Mar. and Freshwater Res., 12(4), 397-8.

いる。搬入時元気な個体は水面下で体を水平に保ち、尾部をゆっくり動かし前進する。収容当初は水槽壁に沿って泳ぎたり、吻端部を水槽壁に当たまま前進しようと行動が繰り返される。しかし、数日後にはこのような泳ぎから頭部を斜めに下げた泳ぎに変わり、状態悪化の兆しをみせる。最終的には体側を上にして体の中央部から2つ折の状態で水面に浮き、尾部の運動もなくなり、静止状態となる。

柳沢(1985)はミツクリザメを48時間水槽内で飼育し、その游泳行動を詳細に観察している。それによると、ミツクリザメは大きな尾鱗をゆっくり振幅させ効率よい推進力を生じることを述べている。ラブカにおいても活力のある時はミツクリザメの尾鱗の振幅と差があるものの、良く似た運動が観察された。

飼育個体がいつ死ぬかは体側中央部を水面上に出して死ぬのは脂肪の蓄積と浮力調節機能をもつ肝臓の影響によるものと思われた。事実、ラブカの肝臓は体重に対して前述のように14~30%を占め、肝重比が大きいとするタロウザメやヒレザメなど(矢野, 1985; 小林, 1986)とほぼ同じであった。矢野(1985)の

ほぼ同じであつた。

ラブカ—生きているクラドダス類
Chlamydoselachus anguineus — a living cladodont shark

鶴見大学歯学部
 School of Dental Medicine,
 Tsurumi University

後藤 仁敏
 Masatoshi GOTO

1. はじめに

板鰓類は世界の海洋中に広く棲んでいるが、その個体体制は原始有顎脊椎動物のそれとを基本的に残すものといえる。なかでも、日本近海にすむラブカ Chlamydoselachus anguineus は、現生の板鰓類のなかで、もつとも原始的な性質をもつサメとして知られている。

筆者は、ラブカの歯について検討した結果、ラブカの歯は板鰓類の先祖であるクラドダス類の歯にさわめて近いものであることを明らかにした（後藤・橋本、1976）。一方、最近わが国の古生代の地層から、エデスタス類・ペタロダス類についてクラドダス類の歯化石がつぎつぎと発見されてきている（後藤、1985）。小論においては、現生のラブカの歯についての観察所見と、化石のクラドダス類についての所見を比較することにより、ラブカというサメの板鰓類進化上の位置づけについて考察したい。

2. ラブカの形態的特徴

Garman(1884)の記載以来のラブカに関する形態的特徴をあげると、次の11点になる（図1）。

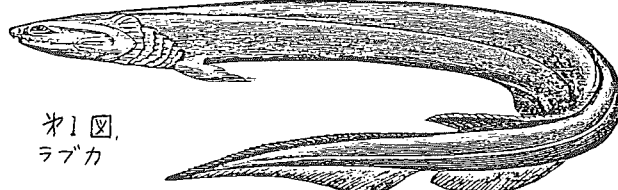


図1図。
 ラブカ

- 1). 口が頭の前端にある。
- 2). 体は細長く、円筒形である。
- 3). 背鰭が1つしかもなく、しかもかなり後方にある。
- 4). 尾鰭の上葉と下葉の区別がはつきりしない。
- 5). 鰓裂の数が6対ある。
- 6). 鰓弁が鰓裂以外にとびでている。
- 7). 最前列の鰓裂は、その腹側部で左右が連続している。また、鰓裂は後方のものほど小さい。
- 8). 側線が溝状で体表に露出している。
- 9). 上顎をつくる口蓋方形軟骨の脳頭蓋への付着様式は、両接型であるが、舌骨弓の軟骨が良く発達しているため、両顎はおもに舌骨弓に関節している。
- 10). 脊索は円筒形で、その

全体にわたってほぼ同じ大きさである。椎体はほとんど発達せず、前方のわずかの椎骨だけが環状に石灰化するのみで、脊索は永存する。

- 11). 脳、とくに終脳と小脳の発達が悪く、全体に扁平である。

以上のうち、いくつかの特徴はラブカ特有のものであるが、他の多くは古生代型板鰓類であるクラド

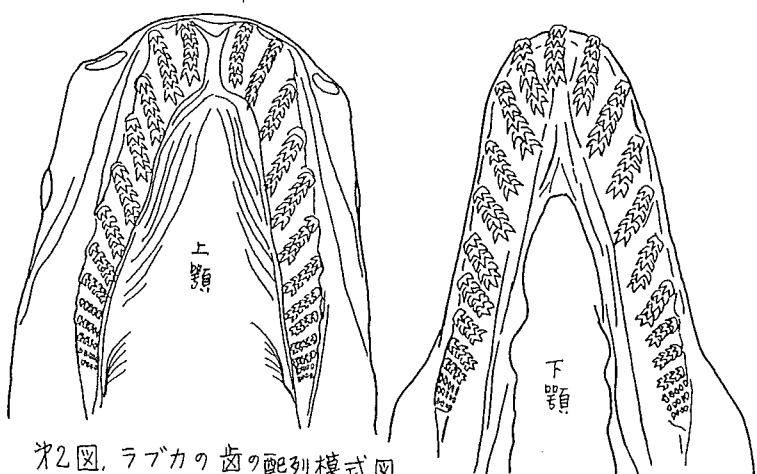


図2図。ラブカの歯の配列模式図

ダス類と共通した原始的な性質といえる。

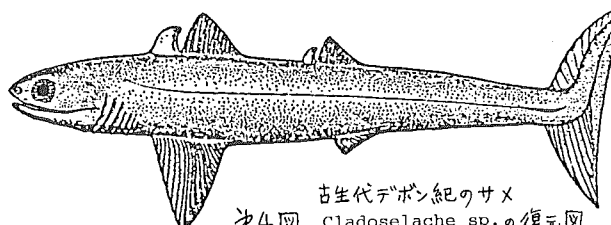
3. ラブカの歯の形態

歯列弓の形は、上顎は放物線に近く、下顎はV字形である。歯の配列は、各歯族が一定間隔で配列し、近心ではその間隙が広く遠心では狭くなっている（オ2図）。上顎には、左右に各13の歯族がならび、各歯族は4~6本の歯からなっている。下顎には、正中に1つの歯族があり、その左右に各12の歯族がならび、各歯族は4~6本の歯からなっている。上顎は1,2番目の歯族が6本、3~10,12番目の歯族が5本、11~13番目の歯族が4本の歯からなっている。下顎は、正中および1~6,10,11番目の歯族が5本、7~9,12番目の歯族が4本の歯からなっている。総歯数は上顎130本、下顎121本、全歯数は251本である。Bigelow & Schroeder(1948)にならってラブカの歯式をあらわせば $\frac{13}{2-1-12}$ となる。

ラブカの歯の形態は、顎の上・下とも、近心・遠心側でも、顎上の部位によつて変化することなく、基本的に同じである。歯冠は3つの先端とがつた細長い咬頭からなっている。中央にはもっとも高い主咬頭があり、その遠心側と近心側にそれよりやや低い2つの副咬頭がある。主咬頭と近心および遠心副咬頭の間に小突起がある。また、歯によつては、副咬頭の側方に、小さな側突起をもつものもある（オ3図）。各咬頭は近心および遠心側にわずかな切縁をもつており、頬側面と舌側面が区別されるが、全体としては円錐形に近い。また、各咬頭は舌側方向にかなり傾斜している。歯根は、舌側方向にのびる2つの突出をもち、その間には陥凹があり、そこに歯槽腔から連続する管の開口（栄養孔）がみられる。歯の大きさは、歯列の近心側半ではほぼ同一であるが遠心側半では遠心におかうほど小さくなる。また、各歯族においては、舌側の歯ほど大きくなる傾向がみられる。

4. クラドダス類の歯の形態

古生代デボン紀のサメ Cladoselache は、最古の板鰓類で原始的な性質をもつ（オ4図）。すなわち、口が頭の前端にあり、体は細長く

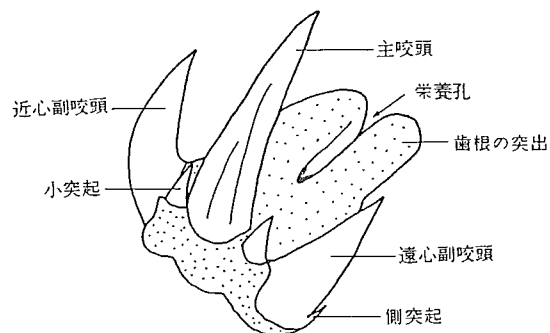


オ4図, Cladoselache sp. の復元図

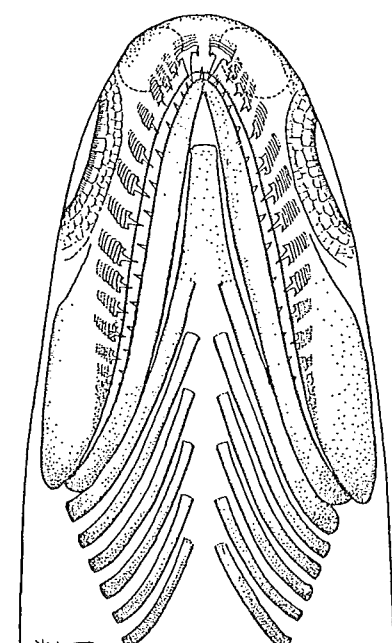
円筒形で、鰓裂の数は6対で、鰓裂は後方のものほど小さく、側線は溝状で体表に露出し、顎軟骨と脳頭蓋は両接型に関節し、背索は円筒形で永存する。これらの特徴は前述したラブカの性質とまったく共通している。

歯列弓の形は、上顎は放物線に近く、下顎はV字形である。歯の配列は、各歯族が一定間隔で配列し、ラブカと同じ型を示している（オ5図）。板鰓類における歯の配列様式を比較すると、ラブカに見られる様式（ラブカ型）から、ネズミザメ類にみられる併列型をへて、メジロザメ類などにみられる交互型へと進化してきたものと考えられる（オ6図）。これは、顎の短縮化に関連していると思われる。

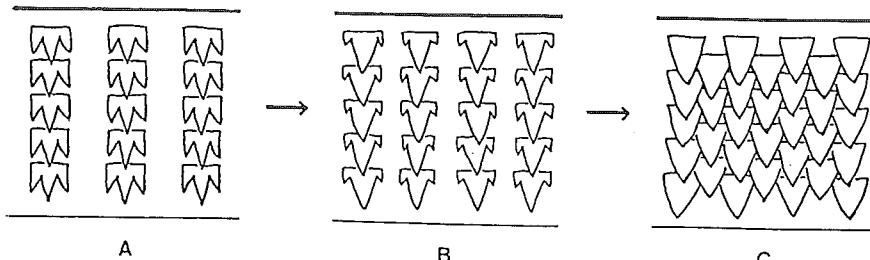
Cladoselache fylleri では、上・下顎とも片側に約12の歯族をもち、下顎には正中歯族があり、各歯族は6~7本の歯からなっている。歯の数もラブカとほとんど同じである。歯の形態



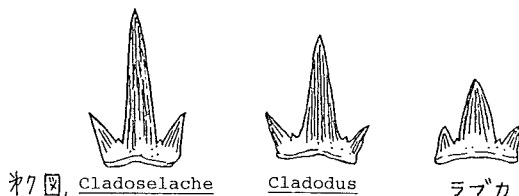
オ3図, ラブカの歯の形態。ななめ上頬側遠心方向からみたところ。



オ5図, Cladoselache fylleri 頭部腹面観模式図



第6図 板鰓類における歯の配列様式の進化についての一仮説(後藤・橋本, 1976)
…A-ラブカ型, B-併列型, C-交互型…



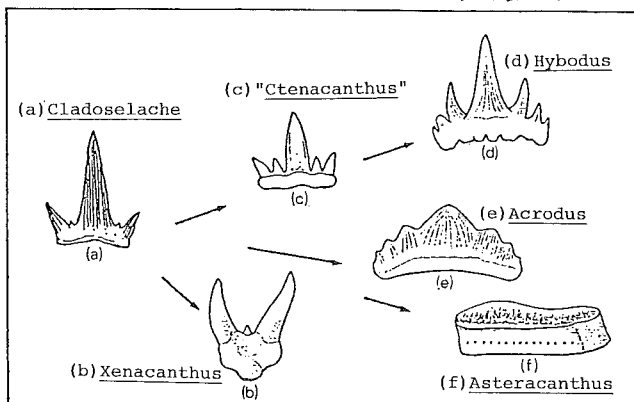
も、やはり中央の高い主咬頭とその近心側の2つの副咬頭をそなえ、しかもそれらの間に小突起をもつという、ラブカとあざくほど似ている(第7図)。最近わが国で発見されたクラドダス類の歯化石も、基本的にこれと同様な形態をもつてゐる(第8図)。

板鰓類の歯は、このような形(3咬頭性)の歯を原型として、小突起が咬頭化すれば5咬頭性、さらに側突起が発達すれば7咬頭性の歯へと進化し、また、咬頭が低化して咬合面が形成されれば板状か臼状の歯になり、さらに主咬頭が退化して副咬頭が発達すればクセナカンサス型の歯へと退化したものと思われる(第9図)。

以上のことから、ラブカの歯は、歯列弓の形、歯の配列様式、歯の形態のすべてこの点に於て古生代型板鰓類であるクラドダス類の特徴を残るものといえよう。そして、このような型の歯を原型として、その後のさまざまな型の歯が進化したものと考えられる。



第8図、岐阜県赤坂の二疊紀の地層から発見された“クラドダス”的歯化石



第9図、初期の板鰓類の歯の進化

文 献

- 後藤仁敏・橋本巖(1976; '77): 生きている古代魚ラブカ Chlamydoselachus anguineus の歯に関する研究. I, II. 齢基誌, 18, 362-377; 19, 159-175.
- 後藤仁敏(1978): 歯および皮歯からみた板鰓類の進化と系統. 海洋科学, 10, 98-105.
- 後藤仁敏(1985): 板鰓類における歯の進化と適応. 地団研專報, 30, 19-35.
- Bigelow, H.W. and Schroeder, W.C. (1948): Fishes of western North Atlantic. Sharks., Mem. Sers. Found. Mar. Res., 1(1), 59-564.
- Dean, B. (1909): Studies on fossil fishes(sharks, chimaeroids and arthrodieres)., Mem. Amer. Nat. Hist., 9, 211-287.
- Garman, S. (1884): Chlamydoselachus anguineus and Heptranchias pestorosus., Bull. Essex Inst., 16, 3-15.
- Garman, S. (1885): Chlamydoselachus anguineus, a living species of cladodont shark., Cambridge Bull. Mus. Comp. Zool., 12, 1-36.
- Harman, S.F., Herdman, W.A., Bridge, T.W. and Boulenger, G.A. (1904): Fishes, Ascidiants, etc., Macmillan, New York.
- Romer, A.S. (1970): The Vertebrate Body., 4th ed., Saunders, Philadelphia. (1981年12月20日受付)

ラブカ精巣内フオリクルの微細構造について
Fine Structure of the Follicle in the Testis of Frill Shark

東京大学 海洋研究所 原 政子
Ocean Research Institute, University of Tokyo
Masako HARA

1. はじめに

板鰓類の精子形成の微細構造を観察する場合、電子顕微鏡を用いて行うが、従来の電顕では1,000倍以下の微細構造写真を撮影する事は困難であった。そのため精巣内フオリクルについては、光学顕微鏡による報告しかない。今回ラブカを試料に用いて、フオリクルの極低倍像撮影ができたので紹介する。

2. 材料と方法

使用したラブカは駿河湾で採集した雄の成熟個体で、ただちに東海大学・海洋学部の研究室に持ち帰り固定を行った。

透過電子顕微鏡用固定：先ず、精巢の細切試料の大きさは、 $3 \times 5 \text{ mm}^2$ 、厚さ1mm位にする。前固定は2%グルタールアルデヒド、0.5%パラフォルムアルデヒドと、0.2Mカコジル酸bufferに15%ショ糖を加えたこれらの混合液を使用し、2時間から1日行った。次にアルデヒド系固定液をbufferでよく洗浄し、2%オスミック酸で後固定を2時間行なう。洗浄液と後固定で使用するbufferは、前固定時と同じ液を使用した。エターナル系列の脱水後、置換前に酸化プロピレンを使用して8:2混合比のエポン812で包埋した。

切片の切削と載物：切片の作製は、試料全面を表面より慎重に厚さ2μmまで、ガラスナイフを用いて切削する。切片は十分伸展させた後、トライジンブルーで染色し、光学顕微鏡で目標のフオリクルを確認する。次に、目標のフオリクル一つが入るメッシュを擲り下すが、ここでは通常の3mmメッシュではなく7mmのLEM用スーパーワイドメッシュを使用した(Fig.1)。メッシュ擲り下す後、フオリクル一つを残し切削面を巾1mm、長さ2mm程度に電顕用のトリムをする。

超薄切片の切削は、ダイヤモンドナイフを使用し、LKB-V型ミクロトームを用い、1mm/secの速度で、低倍用切片は100μm、高倍用切片には60μmで薄片した。大きい切片は、薄切後充分伸展されることは重要で、ナイフボートの水面上に数分間(5-15分)放置して、伸びた後載物する。載物に使用するメッシュは、あらかじめ2%コロジオン液でコーティングしておく。このコーティングにより、切片とメッシュの接着が良くなると共に、染色時の銅メッシュと染色液との反応を防止する役目がある。

1

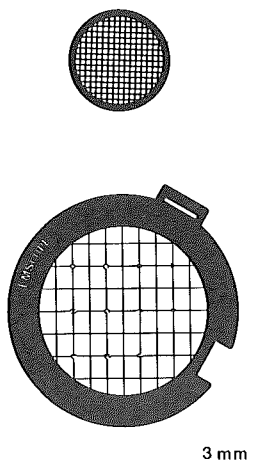


Fig.1, 通常の直径3mmの150メッシュ(上)と、直径7mmのLEM用スーパーワイドメッシュ(下)。

2

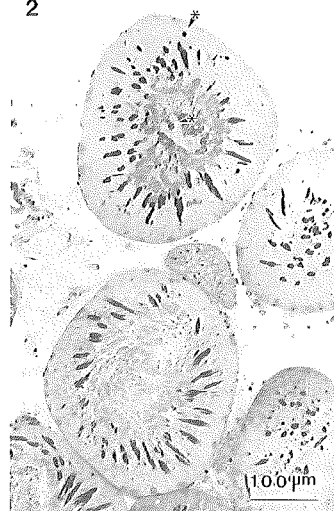


Fig.2, ラブカ精巣の光学顕微鏡像。▲がFig.3のLEM-2000極低倍像と対応。
2μm切片、トライジンブルー染色。

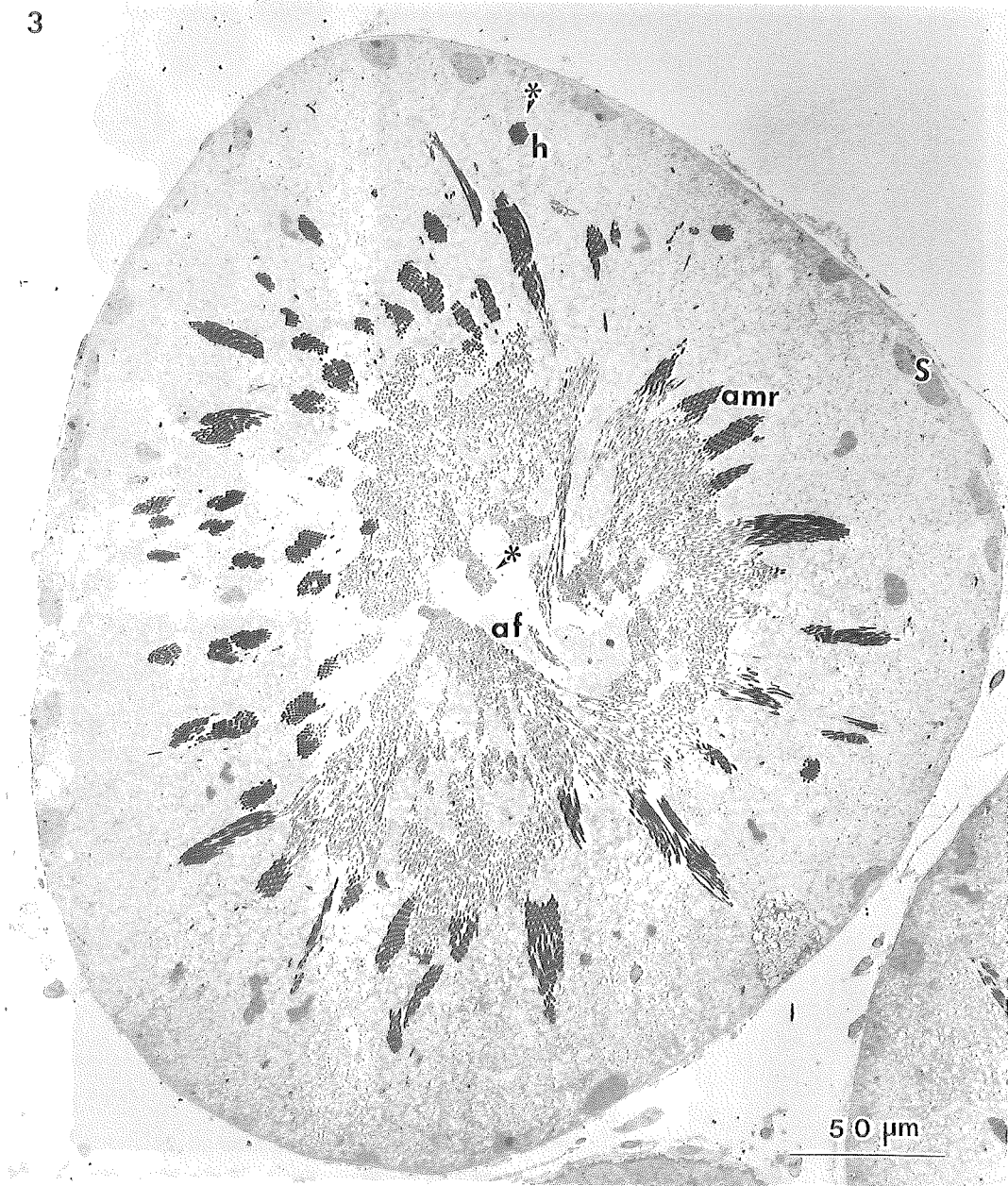


Fig.3, ラブカ精巢内フオリクレの極低倍像。一*が Fig.2 と対応する。 h. 頭部,
amr. 頸部, af. 尾部, s. セルトリ細胞。

染色：低倍広視野を行なう大きな切片の染色は、コンタミを少なくする事が重要である。ウランは4%水溶液で20分間、クエン酸鉛は0.5%に0.2%NaOHを入れて溶解した液で6分間染色を行った。各染色後は、切片をやがりないように注意しながら、洗浄びんのジェット水洗で十分行ない、乾燥は口紙を使用せずに、ドライヤーによる温風乾燥とする。観察と撮影は、LEM-2000超顕微鏡(明石製作所)とJEM-100cx透過電子顕微鏡(日本電子)を使用した。

走査電子顕微鏡用試料：10ml遠心管に前固定液(透過電顕用試料と同様に、精液を2~3滴落とし、手でよく振り冷やす)で2時間程度固定する。この混濁液を遠心機で3,000回、15分間かける。精子をbufferで数回洗浄し、精子とbufferの混った液をPOLY-L-LYSINEをはったカバー

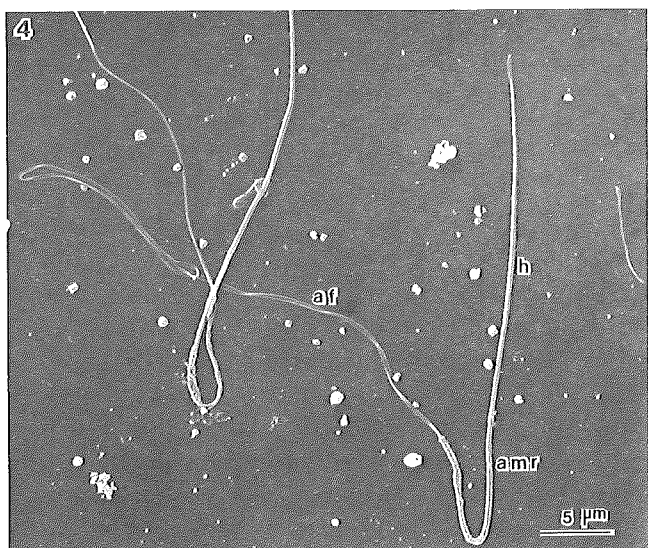


Fig.4, ラブカ精子の走査電子顕微鏡像。 h. 頭部, amr. 頭部, af. 尾部。

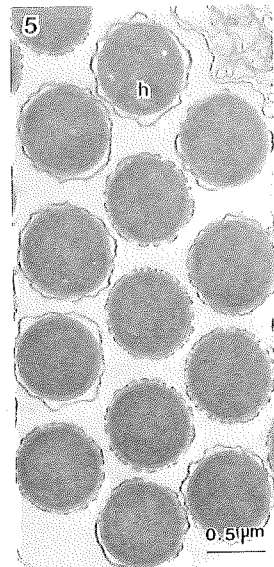


Fig.5, ラブカ精子頭部の横断像。 h. 頭部。

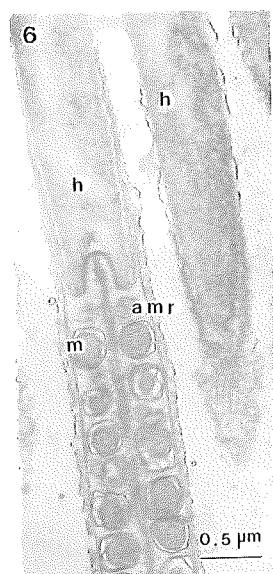


Fig.6, ラブカ精子の頭部と頭部の縦断像。 h. 頭部, amr. 頭部, m. 頭部をとりがこむミトコンドリア群。

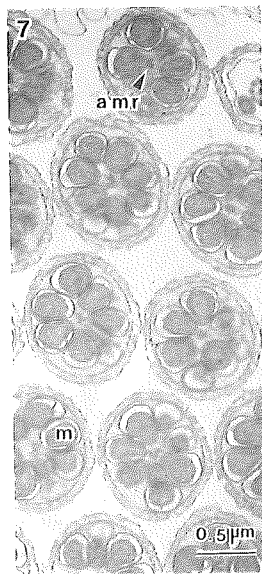


Fig.7, ラブカ精子頭部の横断像。 amr. 頭部, m. ミトコンドリア群。

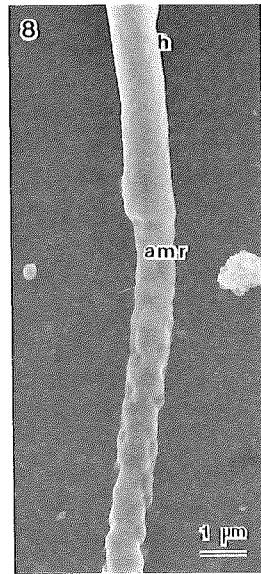


Fig.8, ラブカ精子の頭部と頭部の走査電子顕微鏡像。 h. 頭部, amr. 頭部。

グラス上に散布する。脱水は通常の方法で行ない、酢酸イソアミルを通じた後、臨界点乾燥をする。金をコーティングして、DS-130 走査電子顕微鏡で観察撮影を行った。

3. 精巢内 フオリクルの構造

板鰓類の生殖器官は雌雄ともにその構造が他の生物、特に硬骨魚類のものと甚だ異つていて複雑である。また雄の精巢内は 精細管様式ではなく、1個の球形のフオリクル 内で 精細胞が増殖を繰り返し、変態を行ふ。即ち1つの精原細胞が最終的には1つの精虫束(1つの束に約60の精虫群がラセン状をなしてよじれて束をなしている)を形成する。そして1つのフオリクル内には多くの精虫束

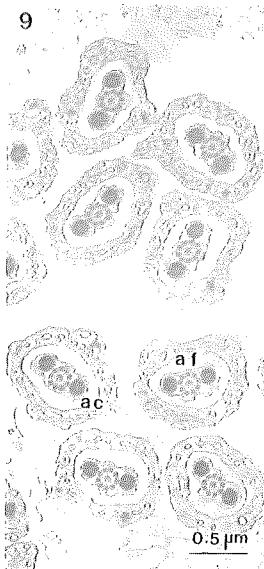


Fig. 9. ラブカ精子尾部の横断像。af. 軸糸, ac. アクセサリー。

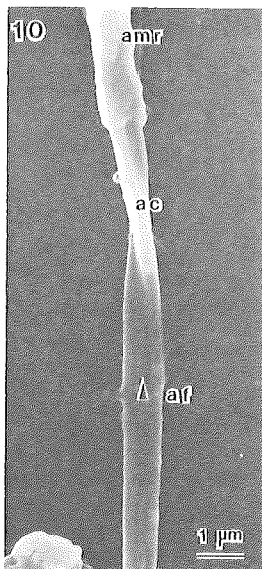


Fig. 10. ラブカ精子の頭部と尾部の走査電子顕微鏡像。
amr. 頭部, ac. アクセサリー,
af. 軸糸。

一メンに尾部束を集めて位置するその規則性を持つた配列がよくわかる(Fig. 4)。撮影を行った同じ切片を使って、より微細な構造の観察を行ふために、10,000倍程度の高倍撮影を行った結果、精子1尾は Fig. 4 の様に 110 μm の長さがあり、頭部と頭部との太さにほとんど差がないことがわかる。頭部横断像は、核内顆粒が充実収縮して電子密度が高い(Fig. 5)。頭部は縦断像(Fig. 6)、横断像(Fig. 7)からもわかる様に細く、ヨシキリザメやユメザメで観察される尾板状のしま模様は、はつきりしなり。また、頭部周囲は、ミトコンドリアが取り巻いている。この部分を走査電子顕微鏡により観察すると、頭部の周囲にはほぼ大きさの等しいミトコンドリアがラセン状に取り巻かれていることが分った(Fig. 8)。

尾部は、鞭毛・纖毛の一般構造と同様で、中心に1対、周辺に9対の細管の断面を示す軸糸と、その両側に板鰓類の特徴であるアクセサリーが観察される。アクセサリーの構造は、管の中空に1本の電子密度を持つた細管が観察される(Fig. 9)。このアクセサリーは、尾部の先端方向に従つて細くなり、やがてなくなる。頭部につながる尾部構造を走査電子顕微鏡により観察すると、軸糸両側にアクセサリー2本がゆるいラセン状をなして配置されていることが分る(Fig. 10)。

これらの精子束が規則的に配列するオリクルには、その基底膜の上にズラリと Sertoli 細胞が観察される(Fig. 3)。また精子細胞が未完成なオリクルを観察すると、一つの精原細胞が分裂・発達した約 60 尾の精子は、膜でかこまれ、隣り合う精子束とは境いされていくことが分る(Fig. 11)。

4. さいごに

2年前の夏に、腎臓の極低倍像写真集をいただいた。これを見た日から、大きな切片を切り削り、オリクル全体を是非撮影したいと熱望していた。今まで電子顕微鏡用の切片はダイヤモンドナイフの高価さと寿命を考慮したため、試料を 0.5 mm 角に小さくトリミ、200 メッシュに載物して電顕観察していったため、オリクル全体をイメージすることと、光顕像と電顕像の対比が十分に出来ないござった。電顕では組織の小さな部分を観察するだけであったが、今回の極低倍像観察により広視野を観察出来たため、細胞の配列がよく確認できることと共に、高倍像観察により、それらの微細構造がより正確に観察できた。

オリクルの形状が円形ではないものも多くみられるのは、固定による影響と考えられ、今後の課題となればならないが、全体像の観察により、精子束の形状や配列が、ラブカと本種以外のサメ・エイ類と比較すると差違がある事が分ったので、次の機会に是非紹介したいと考えている。

が存在する。種類によつて夫々異なるが、このオリクルのままで、または、このオリクルが石皮れて精虫束の形で、または束をとつて精虫がぱらぱらになつて、副精巢から長い輸精管を経て貯精のうへと運ばれて行く。このように他には見られない独特の形態をとるし、精虫その自体も極めて特異な形態をとっている。ラブカの場合も他の板鰓類と大同小異であるが、ここでは特にそのオリクルと精虫の構造とを詳細に観察した。

Fig. 2 は精巢内オリクルの光学顕微鏡写真で、この隣接切片を LEM-2000 超顕微鏡で撮影したものが Fig. 3 であり、倍率は 60 倍である。

オリクル内の完成した精子は、ラセン状を呈し、お互にがみあつて精子束(clump)を形成し、基底膜方向に頭部束を並べ、ル



Fig.11,
ラブカ精巢内
オカリクルで精子
形成過程中の
極低倍像。
S. セルトリ細胞
▲ 1つの精
子束を形成す
る細胞群が
隣接する細胞
群と境される
膜。

文 献

原政子(1978): サメ類の精子形成について, 海洋科学, 10.2, 106-110.

Stanley,H.P.(1964): Fine structure and development of the spermatozoon midpiece in the elasmobranch fish Squalus suckleyi, J.Cell.Biol.,23,88A.

Stanley,H.P.(1965): Fine structure of the tail flagella in the spermatozoa of two chondrichthyan fishes, Squalus suckleyi and Hydrolagus colliei, Anat.Rec.,151,419.

Stanley,H.P.(1971a): Fine structure of spermiogenesis in the elasmobranch fish Squalus suckleyi-I, Acrosome formation, nuclear elongation and differentiation of the midpiece axis, J.Ultradstruct.Res., 36,86-102.

Stanley,H.P.(1971b):Fine structure of spermiogenesis in the elasmobranch fish Squalus suckleyi-II, Late stages of differentiation and structure of the mature spermatozoon, J.Ultrastruct.Res., 36,103-118.

Tanaka,S.,Hara,M. and Mizue,K.(1978): Studies on sharks-XIII,Electron microscopic study on spermatogenesis of the squalen shark Centrophorus atromarginatus, Japan.J.Ichthyol., 25,3, 173-180.

Chen,C.T.,Teshima,K. and Mizue,K.(1973): Studies on sharks-IV,Testes and spermatogeneses in selachians, Bull.Fac.Fish.Nagasaki Univ.,35,53-56.

Mattai,X.(1970): Spermiogenese comparee des poissons.In B. Baccetti,ed.Comparative spermatology, Acc.Naz.dei Lincei.,Roma,57-70.

(1986年12月22日受付)

銚子産のラブカについて

Frill Shark from Choshi

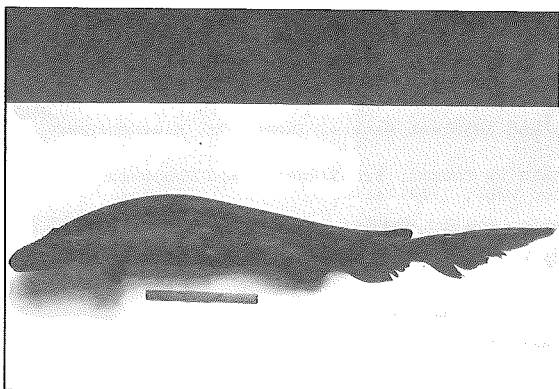
東京大学 農学部

Faculty of Agriculture,
University of Tokyo

谷内透

Toru TANIUCHI

ラブカは世界の様々な海域から報告されるようになり、今では特に珍しい存在ではなくなつてしまつた(Compagno, 1984)。日本では恐らく模式産地であろうと想像される相模湾は、うに及ばず、駿河湾(Tanaka, 1984)、伊豆諸島や銚子沖(Taniuchi, 1984)でも記録されている。しかし、外国の研究者にとってはまだ魅力的であるらしく、特に化石の研究者にとっては垂涎の的のようだ。最近でもイタリアの University of Parma の Dr. Franco Cigala-Fulgoshi から、ラブカの標本、それが無理であるなら顎歯だけでも入手したいといつてきているので、読者諸兄の中で標本の入手が可能な方がおりあれば、協力してやって欲しい。



Frill shark taken from off Choshi, April 17, 1980.

Table 1. Proportional dimension of the frill shark, *Chlamydoselachus anguineus*, female, 1618 mm TL, taken from off Choshi, April 17, 1980.

	Dorsal fin:
outer nostril-----	overall length-----12.2
eye-----	length base-----9.8
mouth-----	length post.margin---2.5
1st gill opening----	height-----2.2
3rd gill opening----	2.2
5th gill opening----	1.7
pectoral origin-----14.0	1.2
pelvic origin-----43.0	1.2
cloaca-----50.9	4.4
dorsal fin origin-----55.7	4.0
anal fin origin-----55.5	6.8
upper caudal origin-----70.1	3.2
lower caudal origin-----68.7	3.6
Distance between bases:	
dorsal and caudal-----36.4	
pectoral and pelvic-----29.7	
pelvic and anal-----2.2	
anal and caudal-----0.8	
Nostrils: distance between inner corners--	2.8
Mouth:	
width-----6.1	length dorsal lobe---25.0
length-----5.3	length ventral lobe---12.2
Labial furrows length:	
upper-----1.7	Trunk at pectoral origin:
Gill opening lengths:	
1st-----4.8	width -----7.4
3rd-----5.0	height-----8.2
6th-----4.3	
Eye:	
horizontal diameter--1.5	
vertical diameter----0.8	

さて、筆者は銚子沖のラブカを一度解剖したことがあり、その経緯と得られた情報をここに記しておきたい。1979年に西ドイツの Dr. Friedrich H. Pfeil から小生あてに“ラブカの歯の研究をしているので、是非とも顎歯を入手したい”という内容の手紙に、ヨーロッパ産の化石の歯を同封してきた。当時当研究室にはラブカのホルマリン漬けの標本があったので、苦労して写真を撮り彼に送ったところ、角度やピントが不充分であるから標本を借りてくれといつてきた。その時点できちらの手に負えないと思ひ、あちら産の化石の歯を鶴見大歯学部の後藤仁敏先生に送りつけ、何とかしてやつて欲しさと図々しくもお願いした。しかし、Dr. Pfeil から再度何とか標本を入手してくれといつてきたが、どうじょうもないのをそのままにしておいた。ところが、当時大学院の学生で現東京水産大学の篠場治博士が乗船調査をしている折に、2尾のラブカを採集してくれた。そこで、1尾は解剖して Dr. Pfeil に顎歯を送ろうといふことになつた。航空便で早速両顎歯を送つたのだが、一向に礼状も受領証も来ないのを、もじかすると向うに着かなかつたのかもしれないと思つていたところ、1983年に彼の著にさる *Palaeo Ichthyologica I* にこの標本が使われてゐることを知り、一安心する同時に、一言ハッキリ然るべきなにと艶然といがい想ひを抱いたという経緯があり、忘れがたい標本として今でも記憶の中にある。

さて、この標本の採集日は1980年4月17日で、沖合底曳船 吉代丸の47回目の操業中であるが、手許に資料がないので水深等についての情報は分りない。全長1618mmの雌で、体重は9.14kg、肝臓重量1.92kgであった。測定値はTable 1に記した。なお、この標本は成熟していると考えられるが、卵巢卵はまだ小さく、卵巢重量は左右ともに25gであった。輸卵管の大きさは、長さ6.7cmで、幅0.5cm、子宮の大きさは長さ16cmで幅1.5cmであった。胃内容物はニホンヘラザメ(*Apristurus japonicus*)で、重さ0.95kg、標本と共に冷凍庫に放り込んだが、現在その所在は不明である。銚子沖ではニホンヘラザメは水深789-819mで漁獲されたり(谷内, 1983)、おそらくラブカもこれに近い水深で漁獲されたものと考えられる。Compagno(1984)はラブカの食物を頭足類や底生魚としているが、おそらく本報告がラブカがサメを餌としていた初めでの記録であろう。なお、残りの肉については食用に供してみた。当時当研究室にいた丁君がしきりに「おいしい」と連絡したのを記憶しているが、淡白な味であったという以外、筆者には特に印象に残るような味ではなかった。あまりおいしくないという方が資源保護という面から無難であろう。

Literature cited

- Pfeil, F.H. 1983: *Paleo Ichthyologica* 1. Verlag Pfeil, Munchen, 315pp.
 Compagno, L.J.V. 1984: FAO Species Catalogue Vol.4. Sharks of the World. Annotated and illustrated catalogue of sharks species known to date. Part 1. Hexanchiformes to Lamniformes. FAO Fish. Synop., (125)1(4):1-249.
 Tanaka, S. 1984: Chondrichthyes of Suruga Bay and Adjacent Waters. Japan. Gr. Elasmobranch Stu. Spec. Pub., 1:25-33.
 Taniuchi, T. 1984: Distribution of elasmobranchs in Choshi, Izu Islands, and Ogasawara Islands. Japan. Gr. Elasmobranch Stu. Spec. Pub., 1:14-24.

谷内透 1983: 板鰓類の移動と分布に関する研究。昭和57年度文部省科学研究費補助金・特定研究、「海洋の生物過程とその開拓利用に関する基礎研究」研究報告書: 163-164.

Abstract

A 1619 mm female specimen of the frill shark, *Chlamydoselachus anguineus*, taken from off Choshi, was measured and dissected to provide teeth for a paleontological study in west Germany. This shark weighed 9.14 kg with a liver of 1.92 kg. It seemed to be mature judging by expanded uteri and long oviducts, although the ovary was only 25g in weight on each side. It contained *Apristurus japonicus* of 0.95 kg in its stomach.

(1986年12月27日受付)

古代的魚類ラブカ *Chlamydoselachus anguineus* の脳 The Brain of Archaic Shark, *Chlamydoselachus anguineus*

横浜市立大学 医学部
Yokohama City University
School of Medicine

佐藤やす子
Yasuko SATO

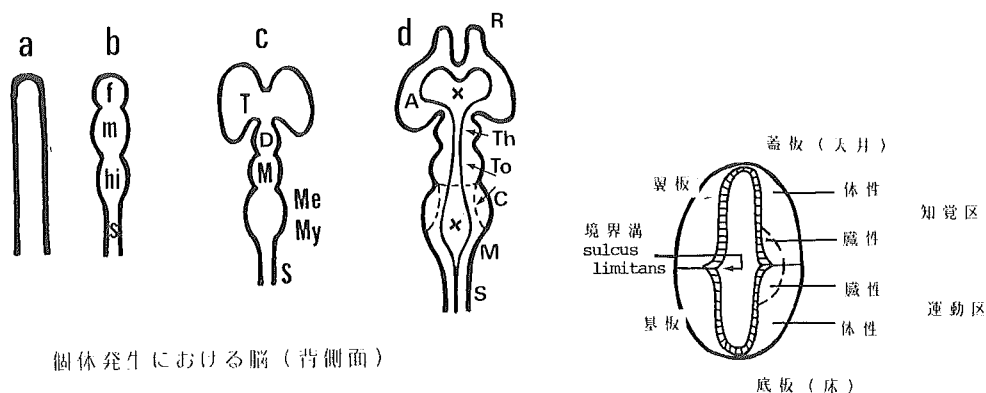
ラブカの脳の形態について述べる前に、魚類脳の基本設計をまず説明して参考したい。

魚類脳の基本設計(図1)

魚類も、発生の初期には、他のすべての脊椎動物と同様、胚の背側部に体軸方向に沿う神経管が必ず形成される。脳は、この前端部の管壁が膨大して出来た器官である。膨大部は、前から順に前脳胞、中脳胞、後脳胞と呼び、脊椎は後脳胞に続く神経管から出来る。嗅覚に関連して生じた前脳胞は前脳になり、さらに1対の終脳とその間の間脳に分れ、視覚によつて出来た中脳胞からは、中脳が形成される。後脳胞は平衡覚、側線、鰓器官との関係で発達して、中脳に続く後脳と脊髄へ続く脛脳(これらをあわせて菱脳という)に分かれる。終脳は左右に発達し

(図1a)

脊椎動物の脳の基本設計



個体発生における脳（背側面）

a: 神経管

b: f 前脳胞, m 中脳胞, hi 後脳胞, s 脊髄

c: T 終脳, D 間脳, M 中脳, Me 後脳

My 嘴脳, S 脊髄

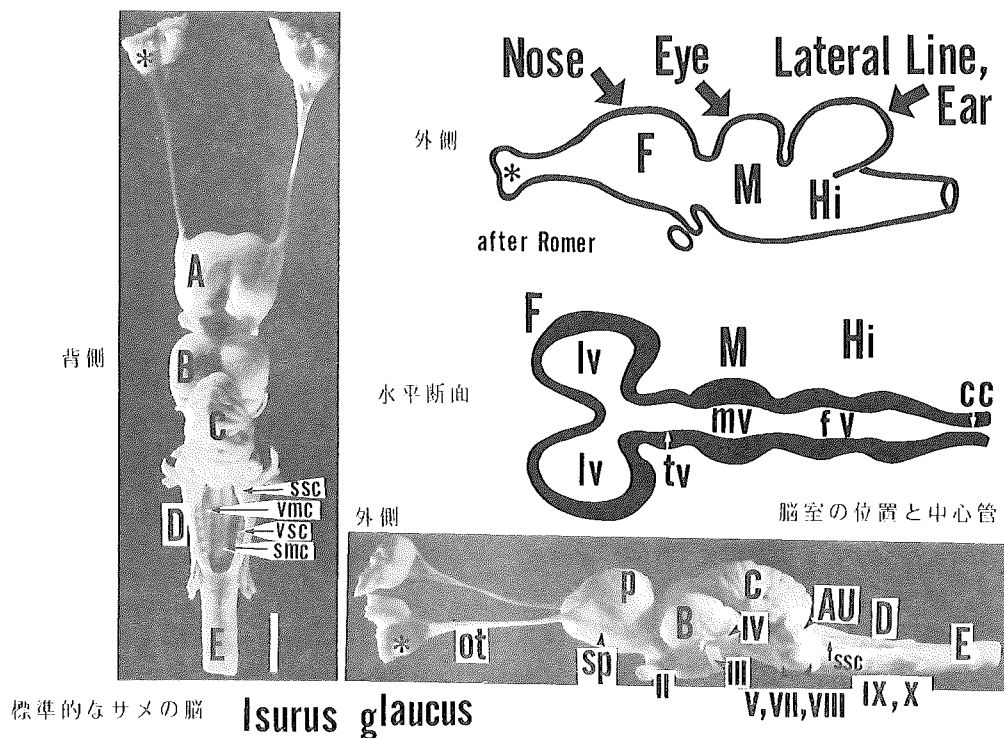
d: A 大脳半球, C 小脳, Th 延脳, R 嗅脳

Th 延脳, To 視蓋, S 脊髄, x 脳室

神経管の断面

(図1b)

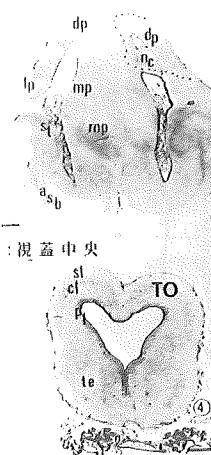
主要な感覚器に対応する脳の区分



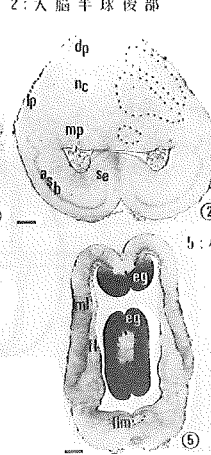
(図1C)

サメの脳各部の横断面 (ネコザメ *Heterodontus japonicus*)

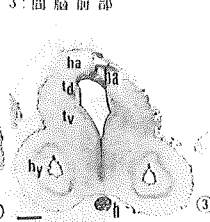
1: 大脳半球中央



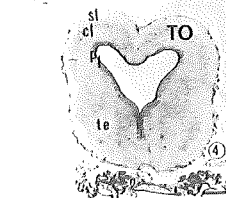
2: 大脳半球後部



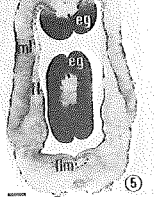
3: 間脳前部



4: 視蓋中央

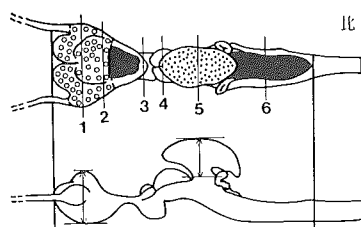


5: 小脳体中央



scale: 1mm

比較のために予め決めた範囲



大脳半球と小脳体面積、

大脳半球と小脳体の高さ

1 ~ 6 :

脳各部位の断面の位置を示す

略号:

- AU: 小脳耳, asb: 嗅結節, B, ●: 中脳視蓋,
- C: 小脳体, cc: 中心管, cl: 視床中心層,
- crc: 小脳後, D: 延脳, dp: 背側外套, E: 脊髄,
- eq: 小脳顆粒層隆起, F: 前脳, II: 小脳線維層,
- fin: 内側淮束, III: 後脳, h: 下垂体, ha: 手綱,
- hy: 視床下部, I: 内耳(三半規管), lp: 外側外套,
- lv: 側脳室, M: 中脳, ml: 小脳顆粒層, mp: 内側外套, N: 嗅囊, nc: 中心核, nd: 背側核, O: 眼,
- ot: 嗅索, P: 外套, rpd: 神経孔管, se: 中脳核,
- sid: 背側中間溝, siv: 腹側中間溝, sh: 界溝,
- sm: 前正中溝, smc, ssc: 体性運動体性知覚各機能柱, sp: 外套下部, st: 線条体, svlt: 三叉神経脊髓路, t: 終神經, td: 背側視床, te:
- 中脳被蓋, tv: 腹側視床, vt: 第4脳室, vlt: 中脳脳室, vmc, vsc: 嫌性運動, 嫌性知覚各機能柱, vs: 血管叢, vt: 第3脳室,
- II: 視神経, III: 動眼神経, IV: 滑車神経, V: 三叉神経, VI: 外軸神経, VII: 顔面神経, VIII: 内耳神経, IX: 舌咽神経, X: 迷走神経

*: 嗅球, ★: 終脳茎, ▲: 視交叉, ■: 下葉

た大脳半球と間脳へ続く終脳茎を生じる。サメ脳は脊椎動物の脳の基本形態をよく残しているが、大脳半球は背側の外套と腹側の外套下部に区別され、外套を外側、背側、内側外套にわける。半球の吻側部は嗅球、嗅索、嗅結節(これらは狭義の嗅脳である)を生じ、嗅球の位置(大脳半球からの距離)と嗅索の長さは種類による相違がみられる。終脳茎は、一般的に言えば発達していない。しかし、サメ類では長い終脳茎があり、その背側は終脳脈絡組織で覆われている。硬骨魚類の終脳は、他の脊椎動物の場合とは、発生過程が全く異なるので特異な様相を呈している。そのため、硬骨魚類と他の脊椎動物との間で終脳各部位の相同についての論議が続けられている(Ariëns Kappers et al., 1936)。魚類の終脳は長い間、嗅覚系に属していると考えられていた(Nieuwenhuys, 1976)。しかし、サメの終脳にも、嗅覚だけではなく、間脳で中継される視覚その他種々の感覚情報を受けるニューロン集団(中心核)が背側外套にあることが実験的に証明され、サメの終脳と哺乳類の終脳との類似が言われるようになった(Cohen et al., 1973; Platt et al., 1974; Schroeder and Ebbesson, 1974; Northcutt, 1981)。ラブカの背側外套にも、これと位置的に一致するニューロン集団が認められる(Sato et al., 1983; 図4)。すなわち、ラブカを含めてサメの終脳はヒトの大脳新皮質の最も古い祖先型であると考えられるようになつた。また、硬骨魚類の終脳にあいても、嗅覚野の範囲は、これまでに考えられてより狭いということが実験的に証明されている(Finger, 1975; etc.)。間脳について見ると、天井の大部分は脈絡組織であるが、側壁は発達して視床となる。視床は4部に分けられるが、最も背側の視床上部は手綱と松果体を含み、

(図 2 a)

A

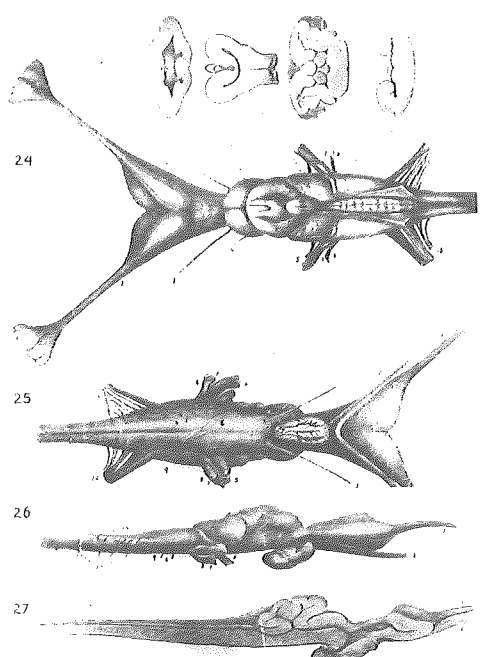
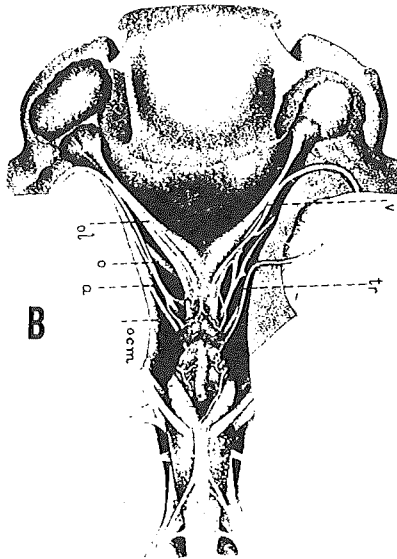


PLATE VI
THE BRAIN OF CHLAMDOSELACHUS

- Fig. 24. The brain in dorsal view and in transverse sections taken at various levels.
 Fig. 25. Ventral view of the brain of the frilled shark.
 Fig. 26. The brain of *Chlamydocephalus* in lateral view.
 Fig. 27. Vertical longitudinal section of the brain of *Chlamydocephalus*.
 These figures are reproduced from the original drawings by Paulus Reutter for Garman, 1885, Pls. XV and XVI.
1. olfactory lobe; 2. nervus opticus; 3. oculomotorius; 4. trochlearis; 5. trigeminus; 6. abducens; 7. facilius; 8. acousticus;
 9. glossopharyngeus; 10. vagus.

Garman(1885, 2.) の Pls. XV and XVI から
転写したラブカの脳 Smith(1937) による

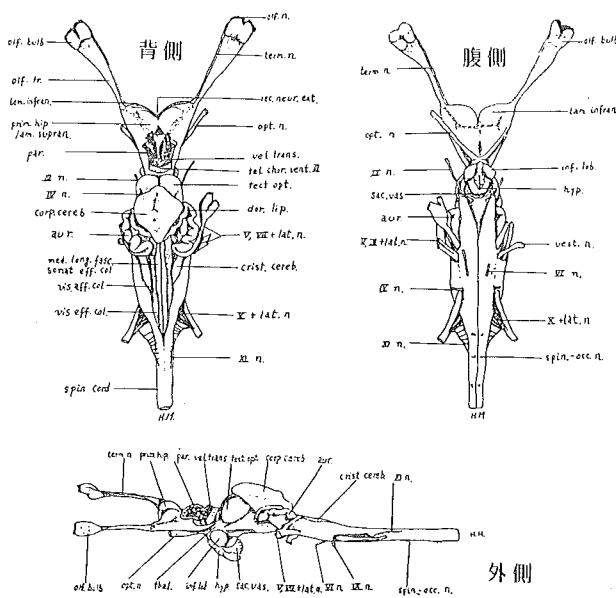


Allis(1923) の Fig. 59, pl. XXII
による

(図 2 b)

BRAIN OF CHLAMYDOSELACHUS

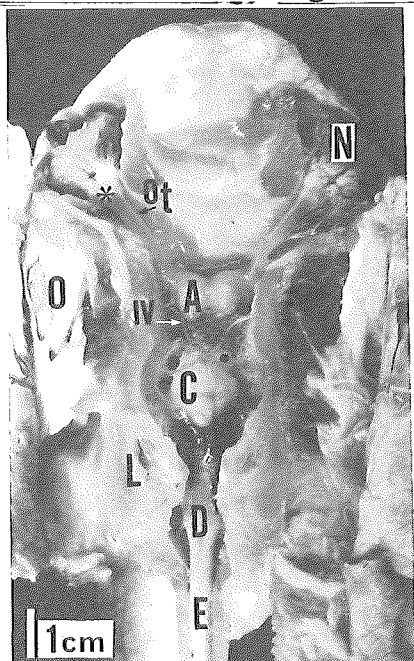
Masai(1961) による



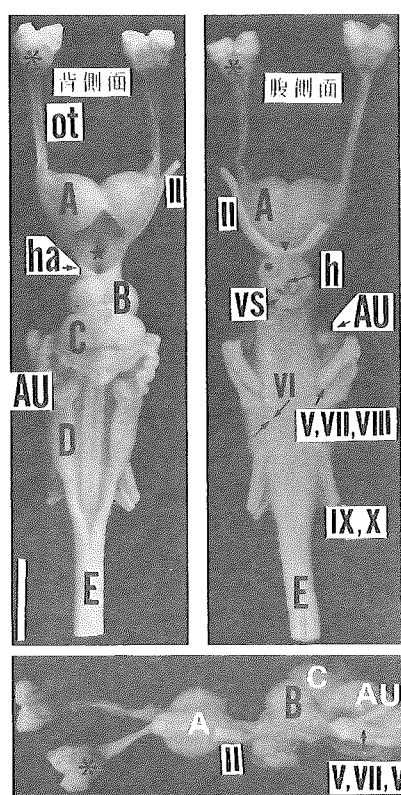
真中の2部は狭義の視床で、下位からのインパルスを受けて大脳半球へ送る中継地である。最も腹側部の視床下部は自律系の中核区で、魚類の視床下部では、その外側部が特に膨大して味覚と嗅覚の相関中枢になり、索餌や攻撃行動の調節に關係する(Ariëns Kappers et al., 1936; Demski & Knigge, 1971; Demski, 1973)。間脳底部からは腹側へ延びる漏斗が出来、その先端には下垂体(脳下垂体)が形成される。下垂体のすぐ後方は血管膜で、水圧の受容器と考えられている。また、底部から左右へ突出した部分の先端には網膜を生じ、その途中は視神経となる。両側の視神経は、間脳底で視交叉を形成する。中脳の背側部には、1対の半球状の隆起すなわち視神経が終る中脳視蓋を生じるが、これは大多數の板鰓類でよく発達している。後脳の背側部は発達して小脳となる。板鰓類の小脳は小脳体および小脳耳が成り、硬骨魚類では

(図3) 古代的魚類ラブカの脳

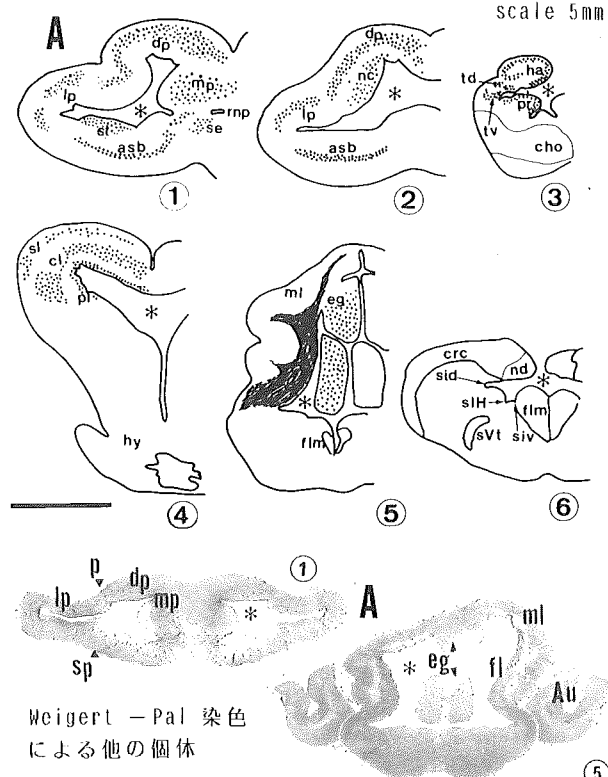
Chlamydoselachus anguineus



頭蓋腔内のラブカの脳(背側面)

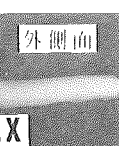
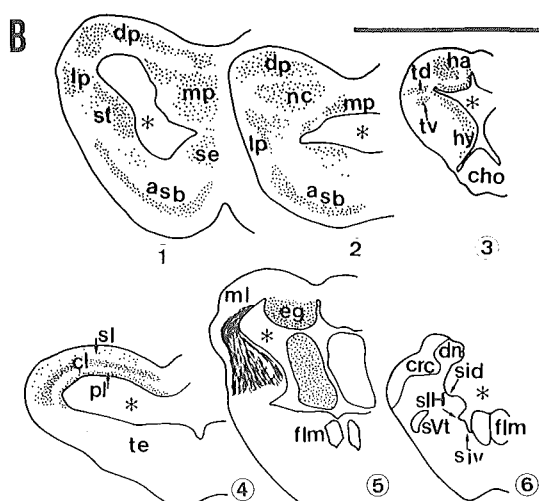


(図4) ラブカ(A)、フジクジラ(B)の前頭断標本(Nissl染色)からのスッケチ,
scale 5mm



Weigert-Pal 染色
による他の個体

*: 脳室, 略号と番号は図1を参照



(図5) これまでに検索したサメの種類と脳(種名の略号は表Aによる) その他の略号は図6を参照

A Squalomorphii

- Chlamydoselachus anguineus (CA)
- Notorynchus platycephalus (np)
- Centroscyllium ritteri (cr)
- Etmopterus lucifer (el)
- Centrophorus atromarginatus (ca)
- Squalus mitsukurii (sm)
- Deania rostrata (dr)
- Squaliolus laticaudus (sl)
- Pristiophorus japonicus (pj)

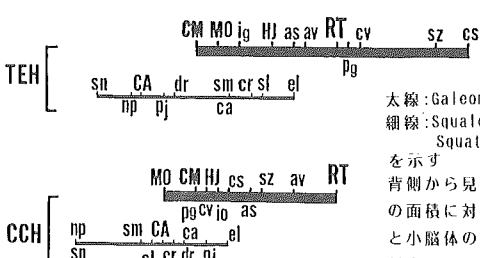
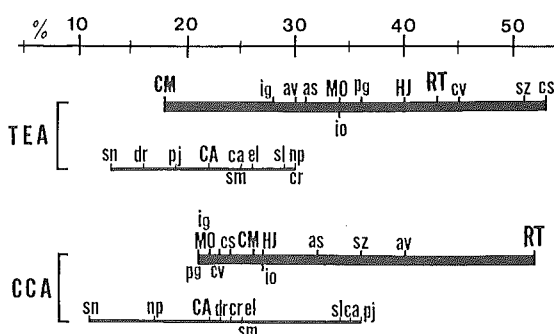
Squatinae

- Squatina nebulosa (sn)

Galeomorphii

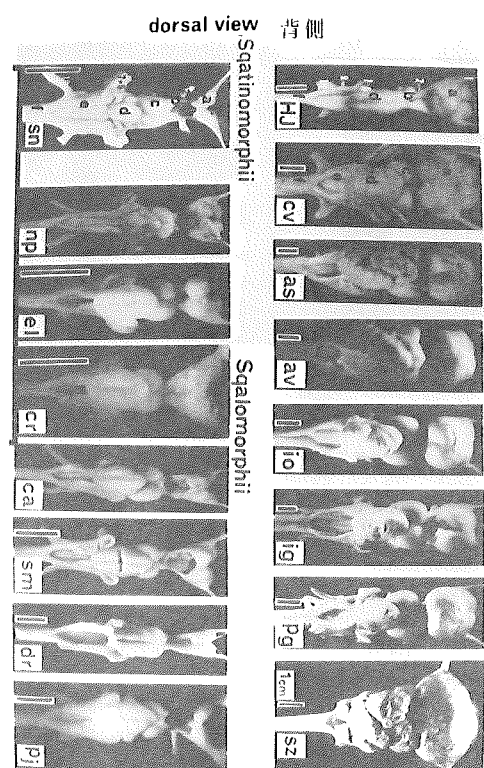
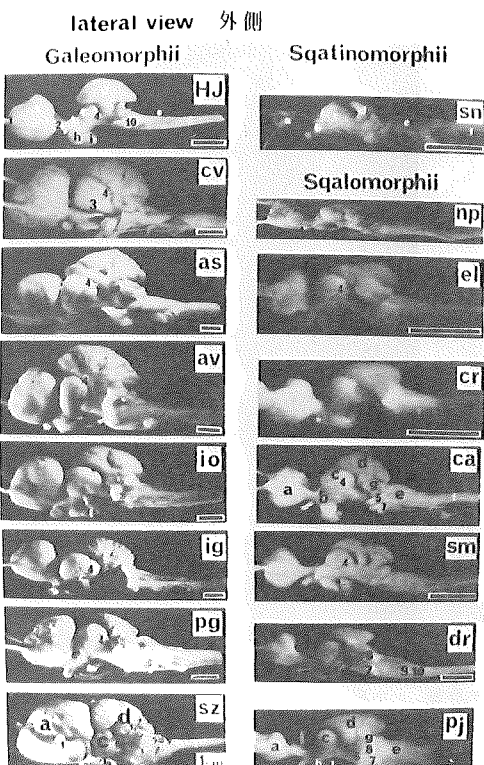
- Heterodontus japonicus (HJ)
- * Rhincodon typus (RT)
- Mitsukurina owstoni (MO)
- Alopias superciliosus (as)
- Alopias vulpinus (av)
- * Cetorhinus maximus (CM)
- Isurus oxyrinchus (io)
- Isurus glaucus (ig)
- Carcharhinus sp. (cs)
- Prionace glauca (pg)
- Sphyraena zygaena (sz)

After Compagno
(1973)

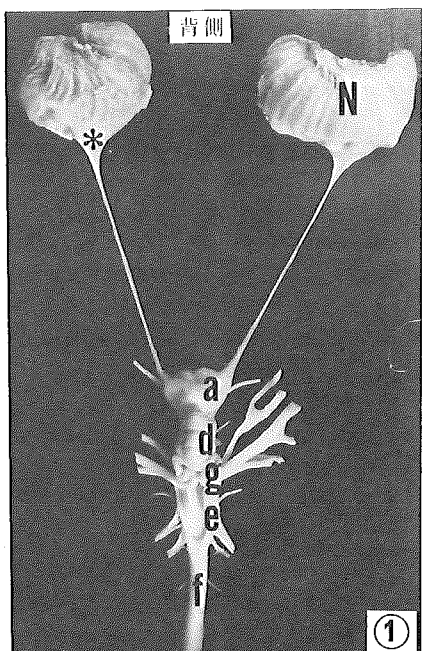


TEA, CCA: 大脳と小脳体の各面積。
TEH, CCH: 大脳半球と小脳体の各高さ
これらの部位については図1cを参照。

太線: Galeomorphii
細線: Squalomorphii,
Squatinae
を示す
背側から見た脳全体
の面積に対する大脳
と小脳体の各面積の
割合いおよび、脳長
に対する大脳半球と
小脳体の各々の高さ
の割合。

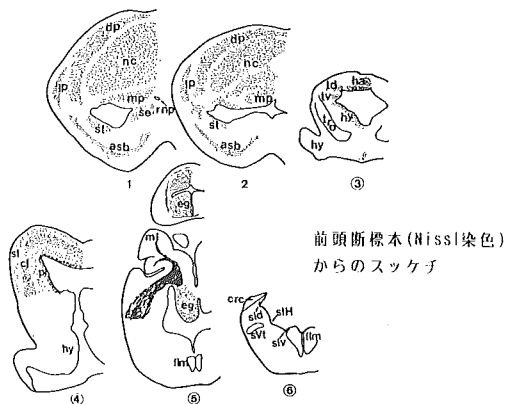
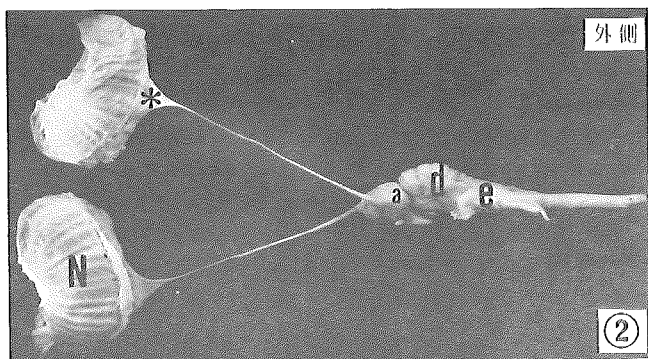


(図6) *Mitsukurina owstoni*



略号 :

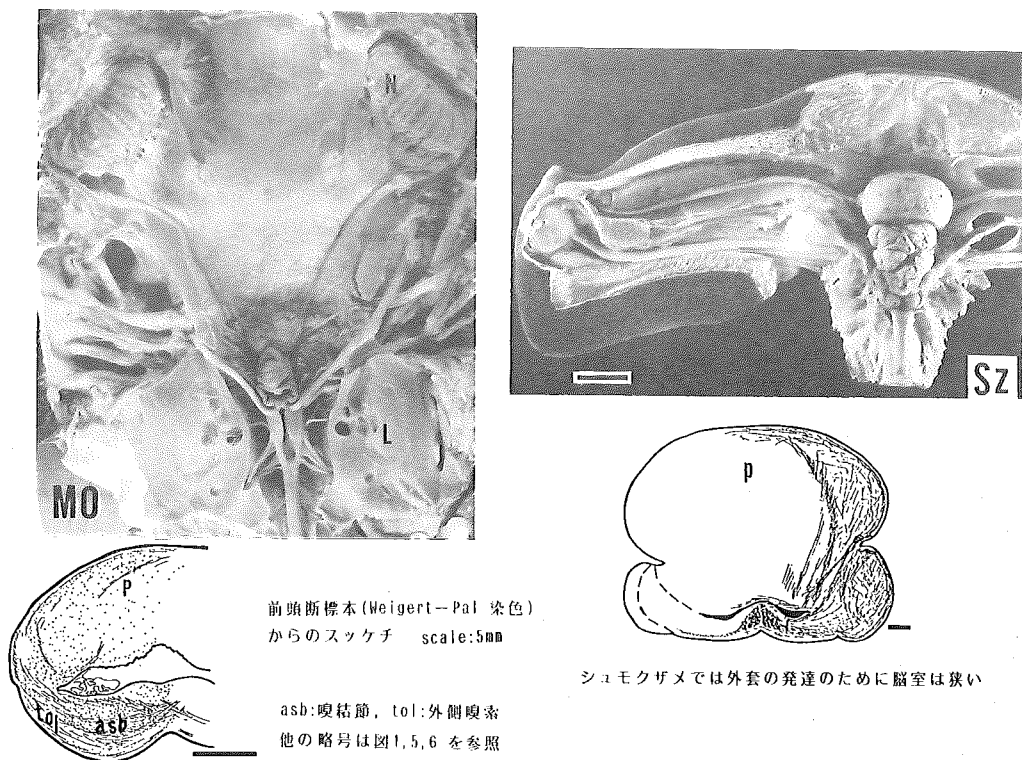
a: 大脳半球, b: 間脳(手綱), c: 視蓋(視葉), d: 小脳体, e: 延髄
f: 脊髄, g: 小脳耳, h: 下葉, i: 下垂体, 1: 嗅索, 2: 視神経, 3: 動眼神経, 4: 滑車神経, 5: 三叉神経, 7: 頭面神経, 8: 内耳神経, 9: 舌咽神経, 10: 迷走神経, その他の略号は図1を参照



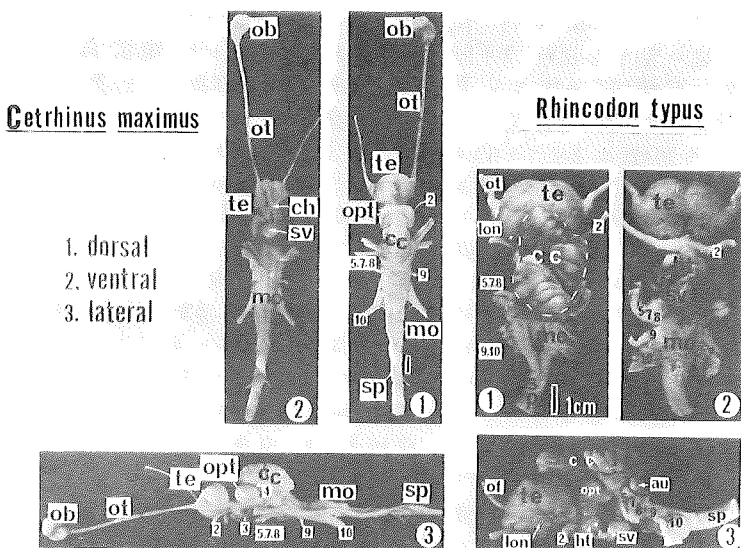
小脳体と小脳弁が区別される。小脳体は、筋緊張などの深部感覚を受けられ、体幹筋の発達に応じて大きくなる。小脳耳は側線と前庭器官とに関与し、小脳弁も、側線に関係があると一般には考えられている。小脳を除いた後脳と髓脳を合せて延髄というが、哺乳類の場合は髓脳だけが延髄になる。延髄の背側部分は、血管に富む膜状の脈絡組織でおおわれたオホラ室で占められ、オホラ室をとり囲む延髄の外側壁や底部は発達する。神經管の内腔は脊髓では中心管、延髄ではオホラ室と呼び、中脳では比較的広く中脳脳室といわれ(哺乳類では狭くて水道といふ)、間脳のオホラ室を経て大脳半球側脳室と連絡する。側脳室は嗅球内の脳室へ続き、ラブカでは長い嗅索を経て、両者が連絡しているのがよく観察される。神經管の内壁面には境界溝と呼ばれる溝が長軸方向に生じて、神經管を、背側の知覚区と、腹側の運動区とに分ける。更に境界溝に沿う部分は、新陳代謝など身体の内的な活動に関係する

臓性区域(自律系)になり、境界溝から離れた部分は体性の区域として、食物の獲得など外界からの情報を関係する部位となる。従つて、神經管の基本的な機能分担区域は、背側から順に、体知覚、臓知覚、臓運動および体運動区域となり、縦軸に平行な深い溝で区切られた柱状構造として配列する。板鰓類の延髄には、この柱状の機能構造がオホラ室の底部に明瞭にみられる。硬骨魚類、たとえばコイ科の魚では「ひげ」、頭部の皮膚、咽頭壁、口蓋などに味蕾が分布し、味覚は顔面、舌咽、迷走神経を介して延髄の背側部に入る。このため、延髄の背側部は膨隆し、顔面葉、舌咽葉および迷走葉を生じて一次の味覚中枢を形成する。ホウボウは胸鰓にある化学受容器のため、脊髄前端部背側が膨隆する。中枢神経系の基本設計は遺伝的に決定されているが、他面では可塑性も有する。すなわち、知覚区はニューロンの増殖が運動区よりも盛んで、末梢の受容器からの影響を受け長年月の間に各知覚領域の灰白質がその運動に特有な形態をとるようになる。従つて、脊椎動物の脳の形態には系統発生的が体制による違いと共に、生態的位置 ecological nicheによる生活様式あるいは機能の特殊化に基づく違ひの両方が反映されている。

(図7) 頭蓋腔内の脳および大脳半球前頭断面



(図8) ウバサメおよびジンベイザメの脳(背, 腹と左外側面)



略号:

au:小脳耳, cc:小脳体, ch:視交叉, ht:下葉, lon:外側嗅索核,
mo:延髓, ob:嗅球, opt:視蓋, ot:嗅索, sp:脊髓, sv:血管球,
te:大脳半球, 敷字は各脳神経

比較形態学上からみたラブカの脳

ラブカの natural history に関する最初の記載は, Gudger and Smith(1933) によれば "Garman(1884.1 and 1885.2)" で, 脳についての報告は Garman(1885.2, pp.16-17) による記載が最初である Smith, 1937). Smith の引用から脳に關する一部を紹介してみる(図2)。ラブカの脳は非常に小さく、前脳の比較的大きさは高等なサメである Carcharias や Zygaena などよりも遙かに小さい。視葉(視蓋-佐藤)は丸く、約半分だけが上がりみられる。小脳は中位の大きさで前端部には丸みがあり後方は鈍端状である。表面はどちらかといえば平滑であつて、3本の横走する窪みが見られる。小脳の plication は比較的に多い。延髄は大きく Notidanidae の延髄よりも幾分大きい。Smith からの引用を続けると、ラブカの前脳脳壁は薄くて Scymnus におけるよりも分化は低い。多くのサメやエイでは、大脳の両葉は、正中でひとつに合わせて球状の塊となるが、ラブカでは大脳の両葉は外側に開いている(Wilder, 1905)。更に脳半側につけて背腹両面の図(Hawkes, 1906)及び Allis(1923)による頭蓋内の脳背側面の図と説明を紹介している。ラブカ脳の外部形態についての記載は Masai(1961) の報告がある。ここで紹介するラブカの脳は、1981年6月5日、蒲原沖のエビ網で捕獲された全長 1,442 mm, 体重 7,700 gr の雌から得た。脳重は 4.1 gr であった。標本はこれまでに観察するところが出来た成体4個体のうちの1個体である。ラブカの脳は全体としてみると背腹方向に扁平で、灰白質があり、裕達程度は低い。脳の表面は内脳膜 endomeninx がおおい、脳と軟骨頭蓋内壁との間の広い腔所は結合組織が埋めている(鳥類以下の脊椎動物では、虫歎膜と脳軟膜にあがれかね内脳膜で脳は直接包まれている)。脳の最も先端には、浅い溝で2葉に区切られた小さい嗅球 olfactory bulb が嗅囊 nasal sac に接してみられる。嗅球は長い嗅索 olfactory tract を介して大脳半球 cerebral hemisphere と連絡する。終神経 terminal nerve は、嗅球内側部から大脳半球腹側正中の外神経孔窩 recessus neuroporicus externus へ嗅索の内側に沿つて走る。大脳半球は吻側部を除いて左右が融合し、背腹の正中には浅い溝がある。終脳茎 telencephalon medium は外套で覆われることなく背側から露出してみられる。間脳 diencephalon の背側部には手綱 habenula が、腹側には、視神経 optic nerve, 視交叉 optic chiasma, 下垂体 hypophysis, 血管囊 vascular sac と視床下部 hypothalamus の腹外側が発達した下葉 inferior lobe がみられる。背側から小脳体 corpus cerebellum をみると、左右対称な菱形で、前後に分ける深い溝がある以外には顯著な溝はない。中脳視蓋 optic tectum の後半部は小脳体でおおわれている。第4脳室 fourth ventricle の脈絡組織を取り除いてみると、多くの“ひだ”を持った小脳耳 auricle があらわれる。延髄 medulla oblongata は脳全体の半分近い割合を占め、第4脳室の底にあたる部分には、機能構造柱が背側から順次に区別される。延髄の前端附近には、三叉、顔面、聴、平衡の各脳神経があり、その後方には舌咽神経、迷走神経および脊髄神経が続く(図3)。以上は、他の個体による Masai(1961) の所見と同様である(図2)。

ラブカの形態上の特徴は、古生代デボン紀の化石魚 Cladoselache に類似していることで、現存するサメ類中最も原始的な性質を留め、産卵期以外は水深約 300m-600m の深海に生息するという。ラブカの運動方法は、Gudger and Smith(1933)の類推によれば、その体型から岩の裂け目などの間を身をくねらせ、緩やかに滑るように移動するということである。ラブカは刺激の少ない安寧した深海の環境に適応し、地質時代における状態に近づままで生存に続けたと考えられる。板鰓類の大脳半球も嗅覚だけでなく、他の種々な知覚の統合中枢であり、小脳も、体運動の統制に関与する。ラブカ脳には、このような刺激の少ない生態的位置がもたらす生活様式が、特に大脳半球と小脳体に著しく反映されているように思われる。前頭断切片でみると、大脳半球の発達は貧弱で、外套は薄く側脳室は相対的に広くなっている。小脳体壁は他のサメと同様に、4層構造が区別されるが、全般的に薄く、顆粒層と線維層の貧弱なことが目立つ(図4.A)。線維層には、脊髄からのインパルスを小脳へ伝える神経線維が入ることを、多くの研究者が実験的に証明している(Ebbesson & Hodde, 1981; etc.)。

これまでの間に多くの種類のサメ脳を調べる機会に恵まれたが、そのうち測定に用いた材料を図5の表に示した。分類は主として Compagno(1973)による。図5に見るように、背側面ごとの大脳半球及び小脳体の面積が脳全体の面積に対する各割合、および、脳長に対する大脳半球と小脳体の高さの割合は、Galeomorphii と Squalomorphii(便宜上 Squatinomorphii を含む)との間で差異がある。Galeomorphii の大脳半球は背側に膨隆し、小脳体には小脳回が発達して、表面積の増加をひきおこしている。しかし、Heterodontus(図1.C)と Mitsukurina(図6.7)では比較的に、これらの発達は貧弱である。Galeomorph を用いた Demski(1977)の電気生理学的実験によると、積極的な攻撃をする捕食者であるという。また大脳

半球の中心核および小脳体は酸素消費量の多い部位であることが組織化学的に証明された(Kusunoki et al., 1973). Schaffer(1967)の説に従うと Chlamydoselachus と Heterodontus は原始的な種である。

Mitsukurina は、デボン紀の Bandringa に外観が類似して同じく原始的な種であるという(Zangerl, 1969)。このような古い型の種は、深海あるいは海底に棲み、このような生息場所のために長年月の間、進化の淘汰圧から免れたままの形態をとどめている。これらの古代的なサメの脳は、特に背側外套の尾側部(後部)が鰓溝から取り残されている(図4, 5, 6, 7)。Heterodontus, Mitsukurina は Galeomorphii に属するが、積極的な捕食者の他の Galeomorph のサメと比較して大脳半球も小脳体も鰓溝が貧弱である(図1, 6, 7)。

さて、最近、Cetorhinus maximus および Rhincodon typus の脳を、観察する機会に恵まれた(図8)。ジンベエザメの大脳半球は、背側に膨隆し、小脳体もよく鰓溝で大脳半球の後部を覆っている。また、小脳回も多く、小脳体は全体として左右不相称で、これらの様相は Sphyraena(図5, 7)と類似する。しかし、ウバザメの脳は全体としてみると扁平で、殊に、大脳半球も左右相称な小脳体も鰓溝は貧弱で、小脳回も少ない。ウバザメの生態は殆んど知られていないが、Matthews(1962)によれば、冬季、深海で冬眠するという。

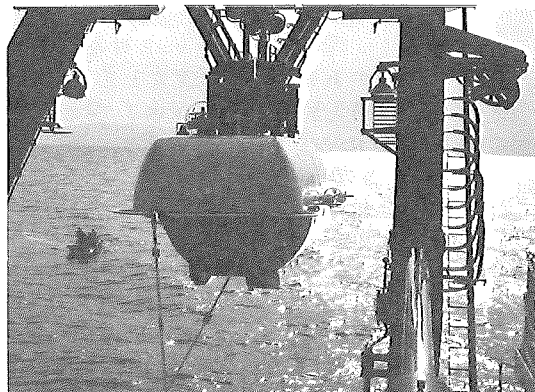
最後に、多くの標本を観察する機会を得たことを、また材料を御提供下さった沢山の方々に深く感謝の意を表します。

(1987年1月9日受付)

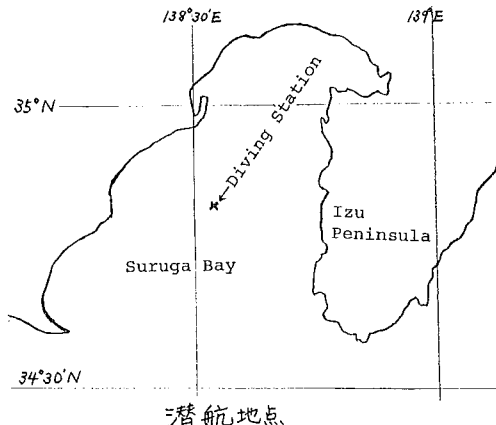
"しんかい2.000"で駿河湾を潜る
A diving in the Suruga Bay by deep-sea submarine
"Shinkai 2,000"

東海大学 海洋学部
Faculty of Marine Science
and Technology,
Tokai University
田中 彰
Sho TANAKA

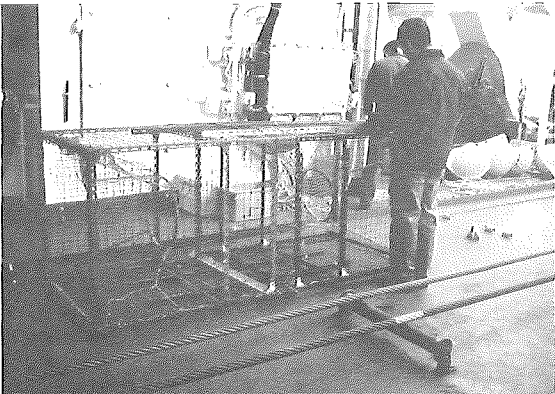
"しんかい2.000"は皆様も御存じの様に日本で一番深く潜航出来る潜水調査船である。今回、その"しんかい2.000"で駿河湾のちょうど中央部、焼津市と西伊豆の安良里とを結ぶ中点附近の水深1,350mの海底へ潜航したので、その時、観察された深海魚について報告する。



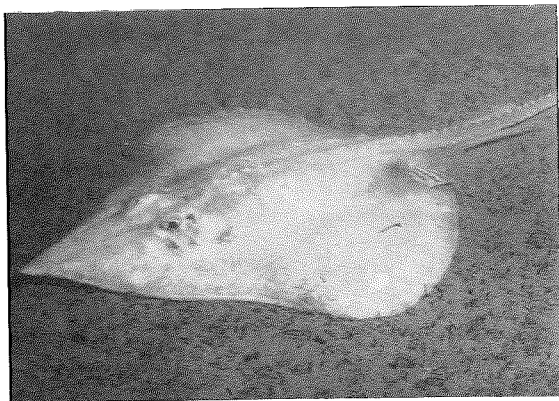
1. 母船などにより潜航のため海中におろされている"しんかい2.000"



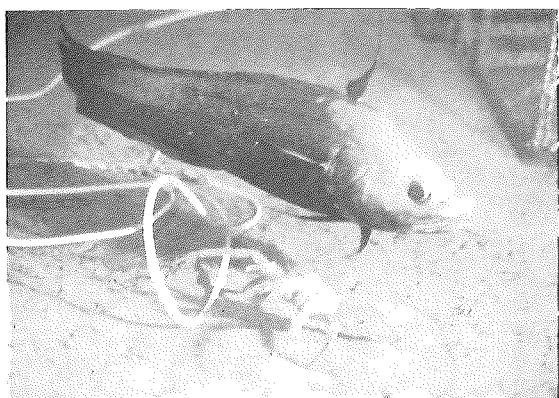
"しんかい2.000"を利用する場合、まず東京大学海洋研究所へその利用申込みを毎年2月頃にしなければならない。小生は東海大学海洋学部の久保田正教授を代表者として「发光生物の发光現象及び深海魚の遊泳行動の観察調査」というテーマで申し込み、深海調査研究委員会がそのテーマを採択された。但し、北海道大学水産学部の乗木教授(水産化学専門)のグループと共同とのことであるので、生態的な分野の東海大グループが"しんかい2.000"に乗船することに話し合われた。久保田教授は当会のメンバーでもあり、駿河湾の中深海性の魚類・介類を中心に研究され、今回も发光生物の調査を計画された。



2. 使用したカゴ網、母船なつしま船上にて。



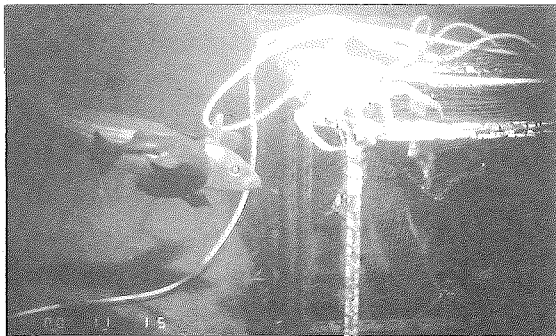
3. ガンギエイの一種、"しんかい2.000"より。水深1350m。



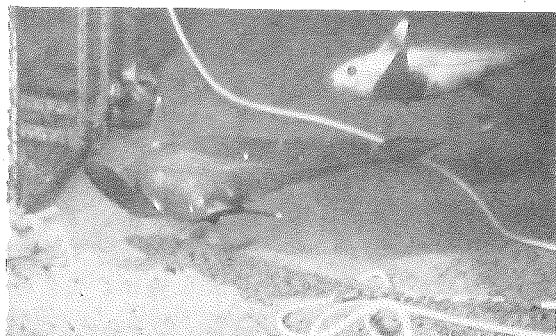
4. ソコクロタラとイバラガニの一種

優に3mを越すカグラサメや蝶のように優雅に胸鰭が泳ぐギンザメの仲間が写されており、深海での軟骨魚類の生活を垣間見た感覚がいた。今回はたゞ潜航するだけでは、深海魚の発光現象や遊泳行動の研究にはならないと考え、深海魚を集め、出来ればそれを捕獲しようとした。今までの潜航をビデオで観察した所によると、1000m以上の海底は、全く砂漠の様に生物相が貧弱であり、特に魚類の様な大型生物は極めてめずらしい。しかし、餌を投入すると、暗黒の海底のどこかくともなくアナゴの類やカニの類やソコクロタラの類やソコザメやギンザメの類が集つて来る。彼等の餌に対する知覚機能は何があるうか。それで、魚魚・捕獲のため、長さ225cm、幅91cm、高さ91cmのカゴ網(写真参考)を作成して、その中に餌をつるし、そのカゴ網を先にトランスホルダーと共にしづめ、後から潜つてゆく

じかじながら、"しんかい2.000"には研究者(観察者)は1人しか乗船出来ず、しかも潜航は、我々グループには1回しかチャンスが与えられなかつたので、話し合ひの結果、小生の乗船を許可して下さつた。小生はこの"しんかい2.000"の調査に参加する時は2回目である。前回は、当会の会長である水江一弘氏が代表者となり「深海さめ類の生態調査」というテーマで、東京大学農学部の谷内透氏と3人で"しんかい2.000"の支援母船"なつしま"に乗船した。その時は谷内氏が"しんかい2.000"に乗船する予定であつたが、残念ながら天候悪化のため、潜航は中止された。深海潜水は、これまで何わゆる船動はあつたにじろ、本格的なものは、日本では、この"しんかい2.000"が最初のことでもあり、また、何じろ1,000m以上の深海に潜るのではあるから、万事、非常に慎重である。潜水艇の調子は勿論のこと、天候などの環境条件が少しでも悪いと潜行は中止される。條件が良くても、1日に何度も潜るようなことはなく、1日1潜航があり、その上、バッテリーの充電などで定期的に(3回か4回潜るとき充電のため2~3日かかる)潜行不能となる。また、"しんかい2.000"の乗船予定の研究者は、前もってセンターに集められ、潜航予備訓練を受けたところになつてゐる。これらのこととは全く当然のことではあるが、その慎重さには驚かされる。この様な状況であるから、研究者にとつては"しんかい2.000"に乗船して潜航出来るチャンスは甚だ少いといふことであり、しかも、予定表を見ると、大学の生物研究者に割り当てられる潜航日数が他に比べて少いと思われる。しかし、潜航は、直接観察するチャンスがなくとも、支援母船"なつしま"の船上では海底の状態がビデオで見られる。前回の場合でも、我々グループは潜航出来なかつたけれども、その航海の他の潜航時の海底状態が、母船上で手にとるようにビデオで観察出来た。その時撮影されたビデオに、



5. イバラガニの一種、ムラサキギンザメ、ユメザメ(反転している)



6. イバラガニの一種、ギンザメの一種、ムラサキギンザメ



7. イバラガニの一種とムラサキギンザメ

から右にあり、集った魚類は潮下からカゴ網に接近し、潮上から来るにはながつた。このことから、彼等の行動、特に索餌では、嗅覚が重要な要因をなじ、餌に接近してからは、その大きさや形を振動(音)によつて知覚するものと思われる。イバラガニは2尾見られたが、カゴ網の上に登りエサをさがしていゝ様であつた。体長約1mのムラサキギンザメ・ソコクロダラは径40cmの入口に近づくが、体の一部が網にぶれると反転し、カゴ網に魚は入りなかつた。

生物の発光現象を観察するため、船外のライトを時々消して視界にあつた生物を觀察したが、発光せず、カゴ網の餌のそばの発光玉のみがぼんやりと光つてゐた。今回は魚がカゴ網に入らなかつたので、目的とする深海魚の発光現象の詳しい觀察は出来なかつた。一方遊泳行動に關じては、特にギンザメ類の胸鰭による遊泳が目引いた。上下・前後するため胸鰭のみを使い、他は体の安定にのみ使われていた。ユメザメ属2種は可成り機敏に行動していた。ソコクロダラは体型がギンザメ類に若干似ているが、その遊泳には尾板部が使われてゐた。

カゴ網附近の觀察終了後、北大グループのベントス採集を行つた。海底をしばらく航行し、タモ網を使つて、ナマコの類とウニの類を採集した。最後にユメザメが1尾我々を見送るように觀察窓近くによつて来たのが印象的であった。13時46分海底の世界に未練を残し、約1時間後の14時43分に光の世界に舞ひきどつた。カゴ網は残念ながら回収出来なかつたが、今回の潜航は極めて貴重な体験であり、今後の研究の参考になつた。(1988年12月26日受付)

観察し、魚類やカニ類などの深海生物が入つた状態で回収することを計画した。

駿河湾の“じんかい2,000”による調査航海は、毎年数回計画されているようだ、今回の我々の調査は11月20日から29日の間の航海であつた。この間、6回の潜航が計画され、小生の潜航は11月21日で、幸いも当日は天候始めすべての條件に恵まれて、順調に行われた。当日は、7時に出航し、8時すぎにstationに到着し、先にカゴ網と、トランスポンダーを投入した。餌としてはサバとイカの切身をカゴ網内部に吊した。前日、“じんかい2,000”的内部に入り、簡単な説明を受けていたので、9時すぎにいよいよ乗船という時に、あまり緊張せずに乗り込んだ。田代船長、桜井潜航士とともに気さくな人で、これから100気圧以上の暗黒の世界に潜航する不安は全くなかつた。

9時41分、いよいよ潜航を開始し、毎分25mの潜航スピードで左回転しながら、一路1350mの海底へとめざした。水深300mぐらいで、すでに観察窓からマニュピレーターが見れなくなり、船外のライトをつけ、生物の観察をした。くらげ類や小型の甲殻類などは目に付いたが、目的のハダカイワシ類は、ほとんど観察されなかつた。途中防寒衣を着込み、10時45分頃よりトランスポンダーをつけたカゴ網をさがし、10時56分、が網脇15mに着底した。水深は1350m、水温は2.7°Cであつた。着底した時にすでにカゴ網の附近には、ユメザメ・マルバラエメザメ・ムラサキギンザメ・ギンザメの一種・イバラガニの一種が集つてゐた(写真5,6,7)。その後、ガシギエイの一種が“じんかい2,000”的すぐ前に来て、しばらくじつとじまつてゐた(写真3)。また、硬骨魚類ではソコクロダラ(写真4)やコンゴウアナゴが観察された。海底での潮の流れは、当初向つて左

ガンギエイ類の食性

Food of Rajidae

長崎大学 水産学部

Faculty of Fisheries
Nagasaki University

竹村 謙

Akira TAKEMURA

1. 食料生物

ガンギエイ類の一般的な行動範囲から、食料となる生物も底棲又は極めて海底近くを游泳する生物を摂餌していることは想像に難くない。食料生物には魚類や甲殻類、頭足類が観察されるが、ハブれも小型の種又は若令の生物である。この内、最も頻繁に胃中より観察されるのは甲殻類、特にエビ類(クルマエビ族 Penaidea)である。次いで、魚類、カニ類であり、稀れにイカの類も摂餌している。ガンギエイとイサゴガンギエイはエビ類を主体に、魚類をも捕食しているが、大型種であるテングカスベの食料は事々魚類であった。

2. 胃内容量

空胃率はガンギエイで約10%, イサゴガンギエイで38%, テングカスベで14%と種により著しく変化に富んでいるが、ハブれの種では胃中には約50%以下の残渣が観察されることが多い。また、胃中に餌生物が充満していることは極めて稀れである。胃中に見られる餌生物の数みると、大量に摂餌している時でも5~7尾であり、さらに一尾にかみりれないことが多い。また、一時に摂餌する個体数はそれほど多いものとは思えない。さらに、体重に対する胃内容物重量はガンギエイで平均1.44%, 最大4.63%, イサゴガンギエイで平均0.67%, 最大2.53%, テングカスベで平均2.28%, 最大3.43%であった。平均値では大型種ほど大きい値を示しているが、最大値には種による顕著な差異は見出されない。

3. 食料生物の選択性

右の表からも分かるように、胃内容物が同一グループの食料生物種に限られる割合は、ガンギエイで77%, イサゴガンギエイで82%, テングカスベで71%と高く、かなり選択的に摂餌していることが伺える。

また、ガンギエイやイサゴガンギエイの小型種は、エビ類を中心、テングカスベやアカエイのような大型種では、魚類を中心にしている。

4. 成長に伴う食性の変化

ガンギエイの場合では、シヤコ、カニ、エビといった動きの鈍い生物を摂餌するのは、小型のものに多く、大型に移行するにつれて主体は魚類の方へ移る傾向がある。即ち、行動力が大きくなるにつれて、動きの早いものまで餌料生物にすることが出来るようになる。また、エビ・カニを摂餌する場合も、大型の個体は、特に大型のものを摂餌している。一方、イサゴガンギエイの場合は、成長に伴う餌料生物の変化は観察されなかった。

5. 成長に伴う摂餌量の変化

ガンギエイ、イサゴガンギエイ共に顕著な成長に伴う摂餌量の体重に対する割合の変化は観察されなかった。即ち、摂餌量はほぼ体重に比例しているといえる。

食料生物の選択性

	R.kenojei	R.hollandi	R.tengu	D.akajei	H.tobijei
Shrimp	39	14	0	1	0
Fish	20	3	4	6	0
Squid	1	1	1	0	0
Crab	0	0	0	0	0
Mantis crab	1	0	0	0	0
Shrimp & Fish	16	2	1	3	1
Shrimp & crab	1	1	0	1	0
Fish & crab	1	0	0	0	0
Squid & Shrimp	0	0	1	0	0
Shrimp, squid, & mantis crab	0	1	0	0	0
Single mixture	61	18	5	7	0
	18	4	2	4	1

The shrimp was most popular species in the food of Rajidae and, small fish, other crustacea and squid were also eaten. But those food in larger species (Raja tengu) was chiefly consisted with fish. Each species selected in their food, however, the food was changed to more active and larger species along with their growth.

(1986年10月7日受付)

文献紹介

Paper Review

Fay H. WOLFSON
Hubbs Marine Research Institute, San Diego, California,
U.S.A.

Occurrences of the Whale Shark, *Rhincodon typus* Smith
Indo-Pacific Fish Biology: Proceedings of the Second
International Conference on Indo-Pacific Fishes,
pp. 208-226, 1986.

吉村 浩
Hiroshi YOSHIMURA

本論文の前に著者は Whale Shark の仔魚 7 尾 (550-930mm) について The Fisheries Society of the British Isles (1983) に報告している。即ち、これら 7 尾の仔魚のうち、4 尾は中米沖太平洋、1 尾はメキシコ湾、他の 2 尾はアフリカ西部赤道海域で採集されているが、これらは何れも熱帯・亜熱帯海域で、旋網曳網でとられたものである。Garrick (1964) がこころみた本種の成長に伴うプロポーション変化と比較させて著者はこれら仔魚の相対成長を論じている。また、その場合、7 尾の仔魚の外に、メキシコ湾でとられた 355mm の胎仔 (Texas Parks and Wildlife Department に保存されている様子) のデーター (Reid, G.K., Copeia 2, 157-158, 1975) を利用している。併び、著者はこの論文の中で、ジンベエザメが「胎生か卵生か」と云う一項をもうけて論じ、Southwell (1912-1913), Gudger (1915, 1933, 1935, 1952), Bigelow & Schroeder (1948), Baughman (1955), Nolan & Taylor (1978), Gilbert (1981/82), Breuer (1954)、などの主張を引用して紹介しているが、結局、ジンベエザメの繁殖形態 (胎生か卵生か?) は疑問のままで解決されていないとしている。この事は實に興味ある問題と思われる。他に胎仔が見つかっていないので現在の段階では、この唯一の胎仔をもとにしても、前述の先輩諸氏があれこれ論争しているのであるが、そのキー・ポイントは「この 355mm の胎仔が淡い琥珀色をした薄い卵殻 (胎仔膜)、……(かも) その卵殻のすみの部分は未発達の巻ヒゲ状であつたりしいが、……その卵殻をががつたまま母体から生み出されるか、又は卵殻がなくて仔魚の形態で生み出されるか」であると思われる。次に著者は本種は 1m-4m のものの標本および知見が全くないことに強い興味と不可解さを感じてゐる。要するに、仔魚にして、胎仔にして、もつと多くの標本と知見を集め努力をすることが肝要であり、現段階で本種の生活史を論じても話にならないということである。

さて、次に、表題の論文に入る。昨年 (1985 年) 夏の インド-太平洋魚類学会で著者の発表を聴いた人は多いと思うが、これは正に労作である。著者は自身の論文も含めてジンベエザメに関する 208 編の (著者数 153 名の) 報文 (1828-1984) を注意深く整理・分類している。即ち、これらの報告はその大部分が観察記録であり、その中には繰り返し報告されたものや、以前の報告の要約や、1つの観察が重複されたものなどあつて、実際に観察したものより多数ある様な印象を与えるが、この様に混同した捕獲又は観察位置は海域別にして詳細な表 (Table 1-9) に統合、整理されてゐる。

Table 1. フィリピン海域 (26 地点)、東部インド洋 (7)。

Table 2. アジア (7)、台湾近海 (9)、日本近海 (9)、中國沿海 (7)。

Table 3. オーストラリア近海 (34)。

「筆者附記」長崎大学水産学部練習船鶴洋丸による米式旋網漁業学生実習のため、筆者は南洋諸島海域を 10 数回航海したが、この海域でのジンベエザメ発見は他海域におけるより多い。Coral Sea, Solomon Sea and Bismarck Sea では特に多い。そのうち発見記録をまとめ報告する。

Table 4. カリフォルニア湾を除く東部太平洋 (35)。

Table 5. カリフォルニア湾 (Sea of Cortez) (34)。

Table 6. カリブ海 (19)、メキシコ湾 (24)、フロリダ及びアメリカ南東部沿海 (6)。

Table 7. アフリカ沿海 (34)。

Table 8. インド洋東部諸島海域 (14)、紅海及びイラン海 (10)、インド・パキスタン沿海 (36)。

Table 9. スリランカ近海 (15)。

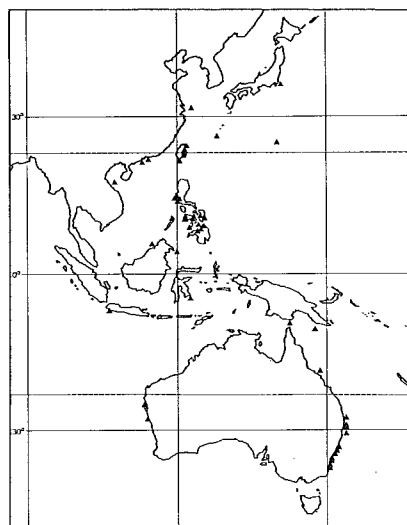


Fig. 1. Western Pacific, Australian waters.

Each triangle represents a locality where at least one whale shark has been reported.

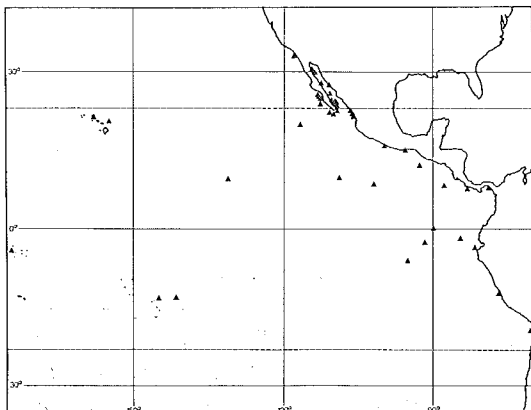


Fig. 2, Eastern Pacific, Sea of Cortez.

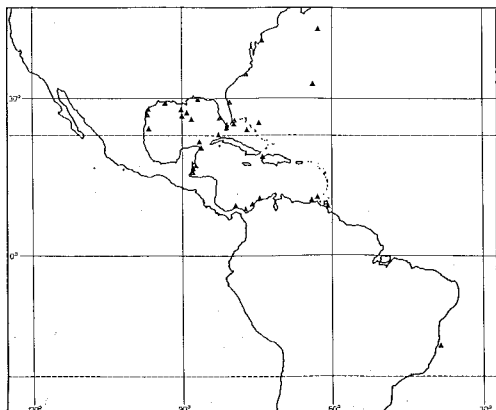


Fig. 3, Gulf of Mexico, Caribbean, Western Atlantic Ocean.

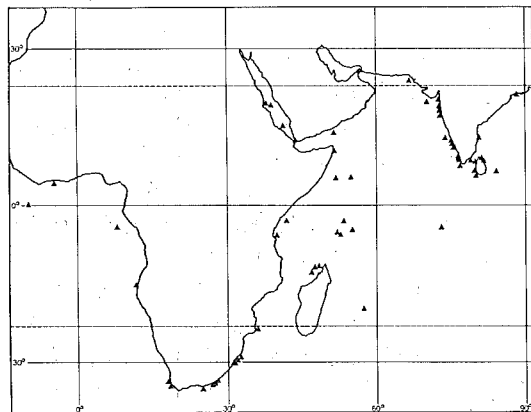


Fig. 4, Indian Ocean, Red and Iranian Seas, Africa.

用されてはいるが、余りにもその団体が巨大であり、又、食用としてこれを利用する地方が少々（内田、1984年会報18号によれば、本種は台湾においてのみ食用として利用されているようである）ためか、本種については研究は困難である。しかし、それにしても、この世界最大の魚についての知見が非常に貧弱であることは今更ながら驚かされる。

そして、Table 1-3 の観察位置を Fig. 1 に、Table 4-5 を Fig. 2 に、Table 6 を Fig. 3 に、Table 7-9 を Fig. 4 に図示しているが、これらの図によつて本種のおおよその棲息域は、地中海を除く世界のすべての暖海域であることが分る。

次に、この論文末尾にリストアップされているシンベオザメに関する文献目録も併せて併せて価値あるものであり、今後本種に興味を持ち、これを研究しようとすると参考に甚だ貴重である。なお、念のため附記するが、本論文の文献番号の項では “Gudger, E.W., 1932 b. The whale shark, *Rhineodon typus*, among the Seychelles Islands. Nature, 130:169.” がぬけている。

漁業、特に旋網漁業や一本釣り漁業については本種が漁の指標にかるとして昔から利用されてきた。しかし、それにしても、この世界最大の魚についての知見が非常に貧弱であることは今更ながら驚かされる。

（1986年10月24日受付）

